

Strategien zum Lösen
parametrischer
linearer Gleichungssysteme

Universität Karlsruhe (TH)
Fakultät für Informatik
Institut für Algorithmen und Kognitive Systeme

Strategien zum Lösen parametrischer linearer Gleichungssysteme

Studienarbeit
von
Manuel Kauers

betreut von
Prof. Dr. es-sciences physiques Jacques Calmet
Dr. Clemens Ballarin

Sommersemester 2001

Inhaltsverzeichnis

1	Einführung	7
1.1	Einführende Beispiele	8
1.2	Definition des Problems	10
1.3	Überblick	12
2	Der Lösungsalgorithmus	15
2.1	Gauß-Elimination in euklidischen Ringen	15
2.2	Das Markowitz-Kriterium	19
2.3	Spaltenvereinfachung	23
2.4	Pivot-Wahl	25
3	Verwaltung von Nebenbedingungen	27
3.1	Mathematische Hilfsmittel: Gröbnerbasen	27
3.2	Gleichheit multivariater Polynome	30
3.3	Implementierung der Schnittstelle	33
3.4	Algebraische Verfeinerungen	34
3.5	Technische Verfeinerungen	35
4	Experimentell gewonnene Resultate	39
4.1	Implementierung	39
4.2	Experimente mit zufälligen Matrizen	41
4.3	Ein Vergleich mit Sits Algorithmus	47
4.4	Experimente mit „Matrizen aus dem Leben“	48
5	Ergebnisse	53
	Mathematische Grundlagen	55
	Meßwerte	59
	Literatur	67
	Funktionen und Prozeduren	69

Symbolverzeichnis	71
Index	73

1 Einführung

Das Lösen *linearer Gleichungssysteme* ist ein im Zusammenhang mit unterschiedlichsten Fragestellungen der verschiedensten Fachgebiete auftretendes Problem. Eben soweit verbreitet wie das Problem ist auch der Gauß-Algorithmus (aus [Gau01]) als dessen Standardlösung.

Viele Computeralgebrasysteme stellen zum Lösen linearer Gleichungssysteme neben dem reinen Gauß-Algorithmus gleich eine ganze Bibliothek von Anpassungen zur Verfügung, mit denen Systeme von spezieller Gestalt besonders effizient bearbeitet werden können.

In dieser Arbeit soll es darum gehen, den Gauß-Algorithmus auf die bisher kaum untersuchte Situation *parametrisierter* linearer Gleichungssysteme anzupassen. Solche Systeme, in denen die Koeffizienten des Systems selbst veränderlich sind, treten z. B. bei der Behandlung von Differentialgleichungen in der Computeralgebra oder bei der Verifikation von algebraischen Petrinetzen (vgl. [Jen96, WR98]) auf. Als weitere Anwendungen sind Eigenwertberechnungen oder Probleme aus der Analytischen Geometrie denkbar.

Vorarbeit auf dem Gebiet der parametrisierten linearen Gleichungssysteme wurde bereits von W. J. Sit geleistet, der in [Sit92] einen Algorithmus zur Lösung parametrischer linearer Gleichungssysteme vorstellt. Die Grundlage von Sits Algorithmus ist die Cramersche Regel, ergänzt um eine effiziente Organisation des Parameterraums, so daß die Lösung eines Gleichungssystems in einer möglichst geringen Anzahl von „Fällen“ dargestellt werden kann. Sit zeigt in einer *worst case* Betrachtung, daß bei einer (naiven) Verwendung des Gauß-Algorithmus mit einer exponentiell größeren Anzahl von Fällen zu rechnen ist als sein Algorithmus liefert.

Sits Überlegungen sind eher theoretischer Natur. Für ihn steht das Problem im Vordergrund, die Anzahl der Fälle zu minimieren und jeden Fall möglichst einfach darzustellen. Für die Laufzeit seines Algorithmus gibt er obere Schranken an, während die Laufzeit (d. h. Effizienz) der Implementierung eine eher untergeordnete Rolle spielt.

Diese Gewichtung fällt bei uns genau umgekehrt aus. Wenn wir versuchen, die Anzahl der Fälle zu reduzieren, dann geschieht dies vor allem zum Zweck der Zeiteinsparung. Ebenfalls im Gegensatz zu Sit interessieren wir uns nicht für das Verhalten unseres Algorithmus im *worst case*, sondern versuchen durch Einsatz von Heuristiken den Algorithmus für den *average case* und vor allem für „Matrizen aus dem Leben“ zu optimieren. Eigenschaften der Eingabe wie dünne Besetzung (symbolisch oder überhaupt) oder Regelmäßigkeiten sollen dabei ausgenutzt werden.

Außerdem soll die Möglichkeit bestehen, ein parametrisiertes Gleichungssystem mit Bedingungen an die Parameter zu versehen, so daß nur diejenigen Lösungen berechnet

werden, die diesen Bedingungen genügen. Dies soll es möglich machen, den Lösungsalgorithmus in einem größeren computer-algebraischen Zusammenhang zu verwenden, indem Wissen über bestehende Einschränkungen an die Parameter bei der Lösungsfindung verwendet wird.

Um die Probleme anzudeuten, die bei der Übertragung des Gauß-Algorithmus auf den parametrisierten Fall auftreten, sollen zunächst einige typische Beispiele betrachtet werden. Anschließend wird das Problem auf eine formale Grundlage gestellt, und es werden die verwendeten Bezeichnungen definiert. Das Einführungskapitel schließt mit einem Überblick über den Inhalt der folgenden Kapitel ab.

1.1 Einführende Beispiele

Bsp. 1 Man betrachte das durch die folgende Matrix definierte, homogene System¹:

$$A(t) := \begin{pmatrix} 1 & -2 & 3 \\ 2 & t & 6 \\ -1 & 3 & t-3 \end{pmatrix}$$

Das System soll mit Hilfe des Gauß-Algorithmus auf *Treppennormalform*² gebracht werden.

$$\begin{pmatrix} 1 & -2 & 3 \\ 2 & t & 6 \\ -1 & 3 & t-3 \end{pmatrix} \begin{array}{l} \left[\begin{array}{l} \leftarrow -2 \\ \leftarrow + \end{array} \right] \\ \leftarrow + \end{array} \\ \rightsquigarrow \begin{pmatrix} 1 & -2 & 3 \\ 0 & t+4 & 0 \\ 0 & 1 & t \end{pmatrix} \begin{array}{l} | : (t+4) \\ \leftarrow + \end{array} \leftarrow -1 \quad | : t \rightsquigarrow \begin{pmatrix} 1 & -2 & 3 \\ 0 & 1 & 0 \\ 0 & 0 & 1 \end{pmatrix}.$$

Da im Verlauf des Algorithmus durch $t+4$ und $-t$ geteilt wird, bleibt zu untersuchen, wie sich das System für Belegungen verhält, in denen diese Ausdrücke verschwinden. Es ergeben sich

$$A(-4) \rightsquigarrow \begin{pmatrix} 1 & -2 & 3 \\ 0 & 1 & t \\ 0 & 0 & 0 \end{pmatrix}, \quad A(0) \rightsquigarrow \begin{pmatrix} 1 & -2 & 3 \\ 0 & 1 & 0 \\ 0 & 0 & 0 \end{pmatrix},$$

und damit Lösungen von völlig anderer Gestalt. Solche zusätzlichen Lösungen werden als *Spezialfälle* bezeichnet.

¹In dieser Arbeit werden nur homogene Gleichungssysteme betrachtet, und diese werden in der üblichen Weise mit Matrizen identifiziert.

²Wir begnügen uns hier mit der Treppennormalform als „Lösung“ eines Systems, da es unproblematisch ist, aus dieser Darstellung die „echten“ Lösungen (je nach Fragestellung z. B. Lösungsraum, Rang oder Determinante) zu gewinnen.

Das Beispiel zeigt, daß die Gefahr unnötiger Fallunterscheidungen besteht. Wählt man im ersten Schritt nach einer Vertauschung der ersten und dritten Zeile z. B. $t - 3$ als Pivot-Element, so hätte man den zusätzlichen Fall $t = 3$ zu untersuchen, der aber keine echt neue Lösung bringt (*scheinbarer Spezialfall*). Durch eine geeignete Strategie zur Wahl des Pivots ist also die Zahl der Spezialfälle gering zu halten.

Das zweite Beispiel zeigt aber, daß selbst bei „optimaler“ Pivotwahl noch scheinbare Spezialfälle auftreten können.

Bsp. 2 Es sei $A: \mathbb{R} \rightarrow \mathbb{R}^{3 \times 3}$ definiert durch

$$A(t) := \begin{pmatrix} 1 & 1 & 1 \\ t & 2t & 2 \\ t+1 & 0 & 2t \end{pmatrix}.$$

Will man Spezialfälle vermeiden, so muß man im ersten Schritt a_{11} als Pivot wählen. Man erhält dann

$$A(t) = \begin{pmatrix} 1 & 1 & 1 \\ t & 2t & 2 \\ t+1 & 0 & 2t \end{pmatrix} \begin{array}{l} \left[\begin{array}{l} \leftarrow -t \\ \leftarrow + \end{array} \right] \\ \left[\begin{array}{l} \leftarrow -t \\ \leftarrow + \end{array} \right] \\ \left[\begin{array}{l} \leftarrow -t \\ \leftarrow + \end{array} \right] \end{array} \begin{array}{l} \\ \\ \cdot (-1) \end{array} \rightsquigarrow \begin{pmatrix} 1 & 1 & 1 \\ 0 & t & 2-t \\ 0 & -t-1 & t-1 \end{pmatrix}.$$

Was immer man nun als Pivot auswählt, führt zu einem Spezialfall. Tatsächlich kann man aber wegen

$$\begin{pmatrix} 1 & 1 & 1 \\ 0 & t & 2-t \\ 0 & -t-1 & t-1 \end{pmatrix} \begin{array}{l} \left[\begin{array}{l} \leftarrow + \\ \leftarrow + \end{array} \right] \\ \left[\begin{array}{l} \leftarrow + \\ \leftarrow + \end{array} \right] \\ \left[\begin{array}{l} \leftarrow + \\ \leftarrow + \end{array} \right] \end{array} \begin{array}{l} \\ \\ \cdot (-1) \end{array} \rightsquigarrow \begin{pmatrix} 1 & 1 & 1 \\ 0 & t & 2-t \\ 0 & 1 & -1 \end{pmatrix} \begin{array}{l} \left[\begin{array}{l} \leftarrow -t \\ \leftarrow -t \end{array} \right] \\ \left[\begin{array}{l} \leftarrow -t \\ \leftarrow -t \end{array} \right] \\ \left[\begin{array}{l} \leftarrow -t \\ \leftarrow -t \end{array} \right] \end{array} \rightsquigarrow \begin{pmatrix} 1 & 1 & 1 \\ 0 & 1 & -1 \\ 0 & 0 & 1 \end{pmatrix} \begin{array}{l} \\ \\ | : 2 \end{array}$$

auf eine Fallunterscheidung ganz verzichten.

Will man im Gauß-Algorithmus eine Vertauschung von Spalten zulassen und wählt im ersten Schritt eine andere Konstante als Pivot aus, so steht man im zweiten Schritt vor ähnlichen Problemen.

Neben einer geschickten Pivotwahl kann man die Zahl der Spezialfälle manchmal offenbar durch Einfügen geeigneter Zwischenoperationen weiter reduzieren.

Eine weitere Möglichkeit zur Vermeidung scheinbarer Spezialfälle ist die Verwendung von Wissen über den gerade untersuchten Fall. Befindet man sich z. B. gerade im Fall $t^2 - 1 = 0$, und als potentielle Pivot-Elemente stehen $t - 3$, t^2 und $t - 1$ zur Auswahl, dann kann man $t - 3$ und t^2 wie Konstanten behandeln, denn aus $t^2 - 1 = 0$ folgt

$$t = 1 \quad \vee \quad t = -1.$$

Allgemeiner gesprochen kann man das Wissen über den aktuellen Fall zur Vereinfachung von Matrixeinträgen verwenden. So kann man im Fall $t^2 - 1 = 0$ zwar keine Aussage über $t^2 + 2t + 1$ machen, man kann diesen Ausdruck aber immerhin zu $2t + 2$ vereinfachen.

Zusammenfassend gibt es drei Ansätze zur Vermeidung unnötiger Spezialfälle:

- Geeignete Auswahl von Pivot-Elementen
- Einfügen zusätzlicher Zeilenoperationen
- Verwendung von Wissen über den aktuellen Fall

1.2 Definition des Problems

Nach der eher informellen Beschreibung des Problems im vorangegangenen Abschnitt soll das Problem nun formal definiert und häufig verwendete Begriffe eingeführt werden. Einige mathematische Grundlagen, die vorausgesetzt werden, sind im Anhang ab Seite 55 zusammengestellt.

Es sei k stets ein algebraisch abgeschlossener Körper. Man denke bei Beispielen etwa an $\overline{\mathbb{Q}}$ oder \mathbb{C} .

Def. 1 Eine *Variablenbelegung* (oder *Belegung* oder *Spezialisierung* oder *Substitution*) ist eine Abbildung

$$\sigma: \{x_1, \dots, x_r\} \rightarrow k.$$

Ist σ eine Belegung und $p \in k[x_1, \dots, x_r]$ (vgl. Def. 10), dann sei

$$\sigma(p) := p(\sigma(x_1), \dots, \sigma(x_r)) \in k.$$

Ist allgemeiner $t = f(t_1, \dots, t_n)$ ein *Ausdruck* mit den Unterausdrücken t_1, \dots, t_n (z. B. eine Matrix), dann sei

$$\sigma(t) := f(\sigma(t_1), \dots, \sigma(t_n)).$$

Die Menge aller Substitutionen $\sigma: \{x_1, \dots, x_r\} \rightarrow k$ wird mit Σ bezeichnet.

Wir verwenden also den Begriff der „Variablenbelegung“ zugleich als Substitution im Sinne der Logik³ und als Einsetzungshomomorphismus für Polynome. Formal fallen beide Begriffe zusammen, wenn man die Definition der Anwendung einer Substitution auf einen Ausdruck so erweitert, daß nach Ersetzung der Variablen der entstehende Ausdruck mit Termersetzungsregeln wie $5^2 \rightarrow 25$ weitestmöglich vereinfacht wird.

Das zu lösende *Problem* lautet dann, für eine gegebene Matrix $A \in k(x_1, \dots, x_r)^{n \times m}$ ($m, n, r \in \mathbb{N}$) und für jede Spezialisierung $\sigma: \{x_1, \dots, x_r\} \rightarrow k$ das lineare Gleichungssystem

$$\sigma(A) \cdot x = 0$$

zu lösen. Hierbei sind x_1, \dots, x_r die *Parameter* des Systems $Ax = 0$.

³ ... , wobei wir der Einfachheit halber Variablen nicht durch Ausdrücke, sondern nur durch Körperelemente (d. h. Konstanten im Sinne der Logik) ersetzen wollen.

Def. 2

1. Ist $p \in k[x_1, \dots, x_r]$, so heißen die Aussagen $p = 0$ und $p \neq 0$ *Nebenbedingung* (oder *Randbedingung* oder *Bedingung*).
2. Eine endliche Menge $F := \{b_1, \dots, b_n\}$ von Nebenbedingungen heißt *Fall*. Es sei Σ_F die Menge aller Spezialisierungen σ , für die

$$\sigma(b_1) \wedge \sigma(b_2) \wedge \dots \wedge \sigma(b_n)$$

wahr ist.

Def. 3 Sei $F = \{b_1, b_2, \dots, b_n\}$ ein Fall und $p \in k[x_1, \dots, x_r]$.

1. p heißt *konstant* bezüglich F (oder *relative Konstante*), wenn gilt

$$\forall \sigma \in \Sigma_F : \sigma(p) \in k \setminus \{0\}.$$

Schreibweise: $F \models (p \neq 0)$.

$p \neq 0$ heißt *echt konstant* (oder *absolute Konstante*), wenn p keine Variablen enthält (d. h. $p \in k \setminus \{0\}$).

2. p heißt *Null* bezüglich F (oder *relative Null*), wenn gilt

$$\forall \sigma \in \Sigma_F : \sigma(p) = 0.$$

Schreibweise: $F \models (p = 0)$.

0 heißt *echte Null* (oder *absolute Null*).

3. p heißt *symbolisch*, wenn p nicht echt konstant ist.
4. F heißt *inkonsistent* (oder *widersprüchlich*), wenn $\Sigma_F = \emptyset$ gilt.
5. F heißt *konsistent*, wenn F nicht inkonsistent ist.

Bsp. 3 Im Fall $\{x - 1 = 0\}$ ist $x + 3$ eine (relative) Konstante, $x^2 - 5$ ist symbolisch, $(x - 1)^2 \cdot (x + 9)$ ist eine (relative) Null. Das Element 0 ist stets die einzige absolute Null, eine absolute Konstante ist z. B. 42.

Der Fall $\{x^2 - 1 = 0, x - 1 \neq 0, x + 1 \neq 0\}$ ist inkonsistent.

Allgemein gilt: Ein Fall F ist genau dann inkonsistent, wenn die Konjunktion der ihn definierenden Bedingungen unerfüllbar ist. Dies ist offensichtlich gleichbedeutend mit $F \models (1 = 0)$.

Def. 4 Sei $A = ((a_{ij})) \in k(x_1, \dots, x_r)^{n \times m}$.

1. A heißt in *Treppennormalform*, wenn

$$A = \begin{pmatrix} 0 & \cdots & 0 & p_1 & p_2 & \cdots & p_k \end{pmatrix} \quad (p_1, \dots, p_k \in k(x_1, \dots, x_r))$$

oder

$$A = \begin{pmatrix} 0 & \cdots & 0 & p_1 & p_2 & \cdots & p_k \\ \vdots & & \vdots & 0 & \boxed{A'} & & \\ \vdots & & \vdots & \vdots & & & \\ \vdots & & \vdots & \vdots & & & \\ 0 & \cdots & 0 & 0 & & & \end{pmatrix} \quad (p_1, \dots, p_k \in k(x_1, \dots, x_r))$$

mit A' in Treppennormalform. Ist $A = ((a_{ij}))$ in Treppennormalform, dann heißt ein Element $a_{ij} \neq 0$ mit $a_{kj} = 0$ ($k < i$) und $a_{ik} = 0$ ($k > j$) *Stufenelement* von A .

2. Ist F ein Fall, dann heißt $A' \in k(x_1, \dots, x_r)^{n \times m}$ *Treppennormalform* von A bezüglich F , wenn A Treppennormalform im Sinne von 1. ist, A durch elementare Zeilenumformungen nach A' überführbar ist und jedes Stufenelement von A konstant bezüglich F ist.
3. Seien Σ die Menge aller Spezialisierungen und F_λ ($\lambda \in \Lambda$) Fälle mit

$$\Sigma = \bigcup_{\lambda \in \Lambda} \Sigma_{F_\lambda}.$$

Weiter sei A_λ eine Treppennormalform von A bezüglich F_λ . Dann heißt die Menge

$$L := \{(A_\lambda, F_\lambda) : \lambda \in \Lambda\}$$

eine *Lösung* (oder *Lösungsmenge*) des Systems A .

1.3 Überblick

Die Grundlage unseres Lösungsverfahrens ist der Gauß-Algorithmus, der entlang der am Ende von Abschnitt 1.1 aufgeführten Punkte erweitert werden soll. Wann immer es sich nicht vermeiden läßt, ein symbolisches Element p als Pivot auszuwählen, wird der Rest der Elimination doppelt ausgeführt, nämlich für den (Unter-)Fall $p = 0$ und den (Unter-)Fall $p \neq 0$.

Kapitel 2 beschreibt das Lösungsverfahren sowie die Heuristiken, die zur Vermeidung von Verzweigungen vorgeschlagen werden. Abschnitt 2.1 zeigt, daß es genügt, Matrizen über $k[x_1, \dots, x_r]$ statt über $k(x_1, \dots, x_r)$ zu betrachten. Es wird daher im folgenden davon ausgegangen, daß alle Nenner in einem Vorverarbeitungsschritt durch Multiplikation jeder Zeile mit dem Produkt aller in ihr vorkommenden Nenner durchmultipliziert wird, und nur noch der Unterfall betrachtet wird, in dem die beseitigten Nenner als konstant angenommen werden. In 2.2 und 2.3 werden Verfahren eingeführt, die zur Pivot-Wahl (Abschnitt 2.4) verwendet werden.

Die Behandlung der Randbedingungen erfolgt durch ein separates Modul, das vom Rest des Lösungsalgorithmus unabhängig ist. Dieses Modul ist Thema von Kapitel 3. Das Modul stellt als Schnittstelle die Methoden `isConstant`, `isZero`, `addConstant`, `addZero` und `simplifyPolynom` mit der naheliegenden Funktionalität zur Verfügung. Kapitel 3 beschäftigt sich mit den Algorithmen, die diesen Methoden zugrunde liegen. Da es sich hier um den lauffzeitkritischsten Teil in der gesamten Architektur handelt, werden zwei Ansätze zur Leistungssteigerung vorgestellt.

In Kapitel 4 wird die Implementierung des Systems im Computeralgebrasystem MuPAD beschrieben und ein Überblick über die Leistungsfähigkeit gegeben. Die Arbeit schließt mit einer Zusammenfassung ab.

2 Der Lösungsalgorithmus

Unser Lösungsverfahren ist eine Erweiterung des Algorithmus von Gauß und ist in Algorithmus 1 dargestellt.

Die in Zeile 2 verwendete Funktion `simplifyMatrix` ersetze jeden Eintrag a_{ij} der Matrix A durch `simplifyPolynom(a_{ij})`, wobei `simplifyPolynom` zusammen mit `isConstant` (Zeile 7) und `isZero` (Zeile 10) die Schnittstelle zur Verwaltungseinheit des aktuellen Falls C bildet. Diese Methoden entscheiden $C \models (p \neq 0)$ bzw. $C \models (p = 0)$ im Sinne von Definition 3. Die Realisierung jener Methoden ist Thema des nächsten Kapitels (Seite 33).

Primitive Methoden werden nicht eigens eingeführt, ihre Semantik wird auf Seite 69 spezifiziert. Im übrigen gehen wir davon aus, daß die verwendete Pseudocode-Sprache keiner Erklärung bedarf.

```
1 function elimination( $A, C, row, col$ )
2    $A :=$  simplifyMatrix( $C, A$ ); // page 33
3   while  $row < rows(A)$  and  $col < cols(A)$  do
4      $(i, j) :=$  choosePivot( $A$ ); // page 25
5      $A :=$  swapRow( $A, i, row$ );
6      $A :=$  swapColumn( $A, j, col$ );
7     if isConstant( $C, A[row, col]$ ) then // valid pivot element
8        $A :=$  eliminationStep( $A, row, col$ ); // page 19
9        $row := row + 1; col := col + 1;$ 
10    else if isZero( $C, A[row, col]$ ) then // only zeros in this column
11       $col := col + 1;$ 
12    else // branch on = 0 and  $\neq 0$ 
13      return elimination( $A, C \cup \{A[i, j] = 0\}, row, col$ )  $\cup$ 
14        elimination( $A, C \cup \{A[i, j] \neq 0\}, row, col$ );
15  return  $\{(A, C)\};$ 
```

Algorithmus 1 Grundgerüst des Lösungsalgorithmus. Initial seien $C = \emptyset$ und $row = col = 1$.

2.1 Gauß-Elimination in euklidischen Ringen

Der Gauß-Algorithmus verlangt in seiner ursprünglichen Form nach Matrizen über Körpern, da nach Auswahl eines Pivot-Elements a die Zeile mit diesem Element durch p zu teilen ist.

Es ist naheliegend, die Division der Pivotzeile durch a einzusparen und stattdessen die Zeile, die eliminiert wird, zunächst mit a zu multiplizieren:

$$\left(\begin{array}{ccc|ccc} a & b & c & & & \\ d & e & f & \cdot a \leftarrow & -d & \\ g & h & i & \cdot a \leftarrow & -g & \\ j & k & l & \cdot a \leftarrow & -j & \end{array} \right) \rightsquigarrow \begin{pmatrix} a & b & c \\ 0 & ae - bd & af - cd \\ 0 & ah - bg & ai - cg \\ 0 & ak - bj & al - cj \end{pmatrix}. \quad (1)$$

Dieses Verfahren wird als *divisionsfreier* Gauß-Algorithmus bezeichnet. Es hat den entscheidenden Nachteil, daß die Einträge der Matrix exponentiell in der Größe der Matrix wachsen (vgl. [GCL92], S. 392).

Verfolgt man das Verfahren jedoch einen Schritt weiter, so stellt man fest, daß sich die dann verbleibenden Zeilen sämtlich durch das ehemalige Pivot a teilen lassen:

$$\begin{pmatrix} a & b & c \\ 0 & ae - bd & af - cd \\ 0 & ah - bg & ai - cg \\ 0 & ak - bj & al - cj \end{pmatrix} \begin{array}{l} \cdot (ae - bd) \leftarrow \\ \cdot (ae - bd) \leftarrow \end{array} \begin{array}{l} -d \\ -g \\ -j \end{array} \begin{array}{l} + \\ + \\ + \end{array} \rightsquigarrow \begin{pmatrix} a & b & c \\ 0 & ae - bd & af - cd \\ 0 & 0 & a^2ei - abdi - aceg - a^2fh + acdh + abfg \\ 0 & 0 & a^2el - abdl - acej - a^2fk + acdk + abfj \end{pmatrix}$$

Da a ein ehemaliges Pivot-Element ist, ist $a \neq 0$, so daß die Division erlaubt ist. Allgemein gilt, daß nach dem i -ten Eliminationsschritt alle Elemente der verbleibenden Submatrix durch das Pivot des $(i - 1)$ -ten Schritts teilbar sind ($i > 1$).

Es läßt sich zeigen, daß bei dieser sogenannten *Gauß-Bareiss-Elimination* die Einträge nur noch linear in der Größe der Matrix anwachsen (vgl. [GCL92], S. 394).

Für die weiteren Überlegungen ist von Interesse, welche Operationen auf der Matrix ausgeführt werden können, ohne die Teilbarkeitseigenschaften zu zerstören.

Satz 1 Die Teilbarkeitseigenschaft in der Gauß-Bareiss-Elimination bleibt erhalten, wenn zwischen zwei Eliminationsschritten beliebige elementare Zeilenumformungen durchgeführt werden.

Bew. Falls a eine Einheit ist, ist nichts zu zeigen, da dann jedes Element durch a teilbar ist. Sei also $a \notin R^\times$. Wir betrachten o. B. d. A. die Untermatrix

$$A := \begin{pmatrix} ae - bd & af - cd \\ ah - bg & ai - cg \\ ak - bj & al - cj \end{pmatrix}$$

aus (1) und rechnen nach.

1. Vertauschen von Zeilen ist aus trivialen Gründen erlaubt.

2. Multiplikation einer Zeile mit $p \neq 0$

$$\begin{aligned}
 A &\rightsquigarrow \left(\begin{array}{cc} ae - bd & af - cd \\ ah \cdot p - bg \cdot p & ai \cdot p - cg \cdot p \\ ak - bj & al - cj \end{array} \right) \xrightarrow{\substack{| \cdot (ae - bd) \leftarrow + \\ -(ahp - bgp)}}} \\
 &\rightsquigarrow \left(\begin{array}{cc} ae - bd & af - cd \\ 0 & a^2 eip - abdip - acegp - a^2 fhp + acdhp + abfgp \\ 0 & a^2 el - abdl - acej - a^2 fk + acdk + abfj \end{array} \right)
 \end{aligned}$$

3. Addition des p -fachen einer Zeile zu einer anderen

$$\begin{aligned}
 A &= \left(\begin{array}{cc} ae - bd & af - cd \\ ah - bg & ai - cg \\ ak - bj & al - cj \end{array} \right) \xrightarrow{\substack{| \cdot p \\ \leftarrow +}} \\
 &\rightsquigarrow \left(\begin{array}{cc} ae - bd & af - cd \\ ah - bg & ai - cg \\ a(k+ph) - b(j+pg) & a(l+pi) - c(j+pg) \end{array} \right) \xrightarrow{\substack{| \cdot (ae - bd) \leftarrow + \\ -(ak' - bj')}}} \\
 &\rightsquigarrow \left(\begin{array}{cc} ae - bd & af - cd \\ 0 & a^2 ei - abdi - aceg - a^2 fh + acdh + abfg \\ 0 & a^2 el' - abdl' - acej' - a^2 fk' + acdk' + abfj' \end{array} \right)
 \end{aligned}$$

Nach erfolgtem Eliminationsschritt (incl. Division durch das alte Pivot) beschränkt man die Betrachtung auf die verbleibende Submatrix, die (nach Variablenumbenennung) wieder von der gleichen Form wie A ist.

Induktiv erhält man die Behauptung. ■

Das Verfahren von Gauß-Bareiss liefert einen ersten Algorithmus für eliminationStep:

```

1  procedure eliminationStep1(A, row, col)
2    // Let oldPivot be a global variable containing the last pivot element,
3    // and let initially oldPivot = 1.
4    for r = i + 1 to rows(A) do
5      for c = j + 1 to cols(A) do
6        A[r, c] := (A[i, j] · A[r, c] - A[i, c] · A[r, j]) / oldPivot;
7    oldPivot := A[i, j];

```

Algorithmus 2 Eliminationsschritt nach Gauß-Bareiss (vgl. [GCL92])

Das folgende Beispiel zeigt zwei Probleme, die bei Verwendung von Algorithmus 2 auftreten.

Bsp. 4 Nach der nach Algorithmus 2 durchgeführten Elimination

$$\begin{pmatrix} 2 & 1 & -1 \\ 0 & 3 & 1 \\ 3 & -2 & 0 \end{pmatrix} \begin{array}{l} \xrightarrow{0} \\ | \cdot 2 \leftarrow + \\ | \cdot 2 \leftarrow + \end{array} \xrightarrow{-3} \begin{pmatrix} 2 & 1 & -1 \\ 0 & 6 & 2 \\ 0 & -7 & 3 \end{pmatrix} \begin{array}{l} \xrightarrow{7} \\ | \cdot 6 \leftarrow + \\ | : 2 \end{array} \\ \rightsquigarrow \begin{pmatrix} 2 & 1 & -1 \\ 0 & 6 & 2 \\ 0 & 0 & 16 \end{pmatrix}$$

ist weder Zeile 2 noch Zeile 3 optimal minimiert.

Im ersten Schritt wurde Zeile 2 durch die Elimination nur mit 2 multipliziert, um die Teilbarkeit im nächsten Schritt zu garantieren – für die Elimination selbst ist diese Multiplikation bedeutungslos.

Im zweiten Schritt entsteht zufällig eine höhere Teilbarkeit als von Bareiss vermutet. Eine derartige Suboptimalität war zu erwarten, wenn man bedenkt, daß der Divisor ja Teiler der gesamten Submatrix ist und Informationen über einzelne Zeilen nicht einfließen.

Neben diesen allgemeinen Problemen haben wir zusätzlich den Wunsch, auf der Matrix auch solche Vereinfachungsoperationen durchzuführen, die sich nicht als Folge elementarer Zeilenumformungen formulieren lassen, und die im Allgemeinen die Teilbarkeitseigenschaft von Bareiss zerstören (vgl. etwa Zeile 2 in Algorithmus 1).

Da wir ein großes Interesse daran haben, die Zeilen weitestmöglich zu reduzieren, weil hierdurch symbolische Einträge verschwinden könnten, erscheint es lohnend, an dieser Stelle eine höhere Komplexität in Kauf zu nehmen, um eine „optimal“ reduzierte Zeile zu erhalten. Statt durch das letzte Pivot wird daher in Zeile 6 durch den größten gemeinsamen Teiler jeder Zeile dividiert.

Allerdings ist das Teilen durch einen symbolischen Ausdruck nicht ohne weiteres möglich (er könnte verschwinden), weshalb man vom gcd zum *gccd* (greatest common constant divisor) übergeht, der wie folgt definiert ist.

```

1  function gccd( $C, p_1, \dots, p_n$ )
2    if  $p_1 = p_2 = \dots = p_n = 0$  then
3      return 1;
4     $g := \text{gcd}(p_1, \dots, p_n)$ ;
5     $[f_1^{e_1}, \dots, f_k^{e_k}] := \text{factor}(g)$ ; // let  $g = \prod_{i=1}^k f_i^{e_i}$ 
6     $p := 1$ ;
7    for  $i = 1$  to  $k$  do
8      if isConstant( $C, f_i$ ) then
9         $p := p \cdot f_i^{e_i}$ ;
10   return  $p$ ;
```

Algorithmus 3 Berechnung des größten gemeinsamen Teilers von p_1, \dots, p_n , der bezüglich C konstant ist

Zusammenfassend wird also folgendes endgültiges Eliminationsschema verwendet:

```

1  function eliminationStep( $C, A, i, j$ )
2    for  $r = i + 1$  to rows( $A$ ) do
3      if  $A[i, j] \neq 0$  then
4        for  $c = j + 1$  to cols( $A$ ) do
5           $A[r, c] := A[i, j] \cdot A[r, c] - A[i, c] \cdot A[r, j];$ 
6           $g := \text{gcd}(C, A[r, i], \dots, A[r, \text{cols}(A)]);$ 
7          if  $\partial g > 0$  then // avoid trivial divisions
8            for  $c = j + 1$  to cols( $A$ ) do
9               $A[r, c] := A[r, c] / g;$ 

```

Algorithmus 4 Elimination aller in Spalte j unter Zeile i stehenden Elemente von A

2.2 Das Markowitz-Kriterium

Steht man im Gauß-Algorithmus bei dünn besetzten Eingabematrizen vor der Entscheidung, welches Element man als Pivot auswählen soll, so sollte man berücksichtigen, in wie weit sich eine Wahl auf die Dichte der Matrix auswirkt.

Überlegungen in diesem Zusammenhang führen zum Begriff des *Fill-ins*. Man betrachtet für jede Position der Submatrix die Veränderung des Eintrags durch die Elimination in Abhängigkeit vom gewählten Pivot. Die Zahl der Positionen, an denen durch die Elimination eine Null „verschwindet“, wird als Fill-in bezeichnet.

Das aus der Numerik bekannte Kriterium von *Markowitz* für dünn besetzte Matrizen [DER86, Kap. 7] liefert die kleinste obere Schranke für den Fill-in.

Satz 2 Sei $A = ((a_{ij})) \in k^{n \times m}$,

$$r_i := |\{a_{ij} : a_{ij} \neq 0, j = 1, \dots, m\}|$$

$$c_j := |\{a_{ij} : a_{ij} \neq 0, i = 1, \dots, n\}|.$$

Dann ist $(r_i - 1) \cdot (c_j - 1)$ der maximal mögliche Fill-in bei Wahl von a_{ij} als Pivot-Element.

Bew. Der Fill-in kann nicht größer sein: Das Pivot a_{ij} ist nur zulässig im Fall $a_{ij} \neq 0$. Daher verbleiben $(r_i - 1)$ zu eliminierende Zeilen. Alle diese Zeilen werden mit dem Pivot multipliziert, was noch keinen Fill-in bringt. Dann wird zu jeder dieser Zeilen ein Vielfaches der Pivot-Zeile addiert. Fill-in kann aber nur dort stattfinden, wo die Pivot-Zeile nichttriviale Einträge hat. Neben dem Pivot sind dies genau $(c_j - 1)$ Stellen. Damit ist $(r_i - 1) \cdot (c_j - 1)$ eine obere Schranke für den Fill-in.

Wenn die Submatrix nur Nullen enthält, findet an genau $(r_i - 1) \cdot (c_j - 1)$ Stellen ein Fill-in statt. ■

Das Markowitz-Kriterium macht den nun naheliegenden Vorschlag, das Element $a_{ij} \neq 0$ als Pivot zu wählen, für das der potentielle Fill-in $(r-1)(c_j-1)$ minimal ist.

Bsp. 5 Ist $A = ((a_{ij}))$ von der Form

$$A := \begin{matrix} & & 3 & 1 & 2 \\ & 2 & & & \\ & 3 & & & \\ & 1 & & & \end{matrix} \begin{pmatrix} * & 0 & * \\ * & * & * \\ * & 0 & 0 \end{pmatrix},$$

so sind a_{31} und a_{22} die Elemente mit minimalem potentiellen Fill-in. Bei ihrer Wahl findet gar kein Fill-in statt.

Wählt man das laut Markowitz ungünstigste Element a_{11} als Pivot aus, so ist ein potentieller Fill-in von $4 = (3-1)(3-1)$ zu erwarten, nämlich an den Positionen $(1,2), (1,3), (3,2)$ und $(3,3)$. Da $a_{13} \neq 0$ ist, liegt der tatsächliche Fill-in mit 3 aber etwas günstiger als die Vorhersage des Kriteriums.⁴

Das Konzept des Fill-ins und das Markowitz-Kriterium sollen nun auf symbolische Matrizen übertragen werden. Die Unterscheidung zwischen Null- und Nicht-Null-Einträgen wird erweitert in eine Klassifizierung Null (absolut oder relativ), echt konstant, relativ konstant und symbolisch (vgl. Def. 3). Diese *Fill-in-Klassen* seien durch die Symbole $0, 1, x$ bzw. X repräsentiert.

Die Verknüpfungen $+$ und \cdot seien auf den Fill-in-Klassen wie folgt definiert:

\cdot	0	1	x	X	$+$	0	1	x	X
0	0	0	0	0	0	0	1	x	X
1	0	1	x	X	1	1	1	X	X
x	0	x	x	X	x	x	X	X	X
X	0	X	X	X	X	X	X	X	X

Diese Definition ist stellenweise pessimistisch, z. B. gilt nicht notwendig $1+1=1$, denn durch gegenseitige Auslöschung könnte eine Null entstehen. Die Verknüpfungen sind gerade so definiert, daß $a \circ b$ die „schlimmste“ Klasse ist, in der die Verknüpfung eines Elements aus a mit einem Element aus b liegen kann.⁵

Die Frage ist nun, wie viele Elemente bei Wahl eines gewissen Pivots in Folge der Elimination ihre Klasse ändern. Elemente a der Submatrix gehen durch Elimination in Elemente $ab - cd$ über. Ein solcher Übergang wird als Fill-in der Klasse $*$ bezeichnet, wenn $ab - cd$ zur Klasse $*$ und a zu einer einfacheren Klasse gehört.

Satz 3 Sei $A = ((a_{ij})) \in k^{n \times m}$ eine Matrix. r_i^* sei die Anzahl der Elemente der Klasse $*$ $\in \{0, 1, x, X\}$ in Zeile i ($i = 1, \dots, n$) und c_j^* die Zahl der Elemente der Klasse $*$ in Spalte j ($j = 1, \dots, m$).

Es sei f_{ij}^* der „schlimmste“ anzunehmende Fill-in der Klasse $*$ ($*$ $\in \{1, x, X\}$) bei Wahl des Pivots a_{ij} .

⁴Experimente mit zufälligen Matrizen zeigen, daß der dadurch entstehende Fehler vernachlässigbar ist ([DER86] und Kapitel 4).

⁵Man verifiziere dies z. B. für den nichttrivialen Fall $x+1=X$

1. Ist $a_{ij} = 1$, so ist

$$\begin{aligned} f_{ij}^1 &= (r_i^1 - 1) \cdot (c_j^1 - 1), \\ f_{ij}^x &= 0, \\ f_{ij}^X &= (m - r_i^0 - 1) \cdot (n - c_j^0 - 1) - (r_i^1 - 1) \cdot (c_j^1 - 1). \end{aligned}$$

2. Ist $a_{ij} = x$, so ist

$$\begin{aligned} f_{ij}^1 &= 0, \\ f_{ij}^x &= r_i^0 \cdot (n - c_j^0 - 1), \\ f_{ij}^X &= (m - r_i^0 - 1) \cdot (n - c_j^0 - 1). \end{aligned}$$

3. Ist $a_{ij} = X$, so ist

$$\begin{aligned} f_{ij}^1 &= f^x = 0, \\ f_{ij}^x &= (m - 1) \cdot (n - c_j^0 - 1). \end{aligned}$$

Dabei sei „schlimmer“ definiert durch $>$ mit $X > x > 1 > 0$.

Bew. Der Beweis erfolgt durch Nachrechnen und Abzählen der Stellen, an denen ein Fill-in der jeweiligen Klasse stattfindet. Für die Klasse, der das Pivot angehört, ist von der Anzahl jeweils 1 abzuziehen (vgl. Bew. zu Satz 2)

1. Das Pivot ist konstant.

$$\begin{pmatrix} 1 & X & x & 1 & 0 \\ X & * & * & * & * \\ x & * & * & * & * \\ 1 & * & * & * & * \\ 0 & * & * & * & * \end{pmatrix} \begin{array}{l} \xrightarrow{-X} \xrightarrow{-x} \xrightarrow{-1} \\ | \cdot 1 \leftarrow + \\ | \cdot 1 \leftarrow + \\ | \cdot 1 \leftarrow + \end{array}$$

$$\rightsquigarrow \begin{pmatrix} 1 & X & x & 1 & 0 \\ 0 & * \cdot 1 - X \cdot X & * \cdot 1 - x \cdot X & * \cdot 1 - 1 \cdot X & * \cdot 1 \\ 0 & * \cdot 1 - X \cdot x & * \cdot 1 - x \cdot x & * \cdot 1 - 1 \cdot x & * \cdot 1 \\ 0 & * \cdot 1 - X \cdot 1 & * \cdot 1 - x \cdot 1 & * \cdot 1 - 1 \cdot 1 & * \cdot 1 \\ 0 & * & * & * & * \end{pmatrix}$$

Unter Zuhilfenahme der oben angegebenen Annahmen für + und · erhält man, daß der Kasten links oben genau die Fälle mit potentiellm Fill-in X enthält, während der mittlere Kasten die Fälle mit Fill-in 1 und der Kasten rechts unten die Fälle ohne Fill-in beinhaltet.

Die Anzahl der Elemente jedes Kastens entspricht genau der Behauptung im Satz. (Es findet kein x-Fill-in statt.)

2. Das Pivot ist relativ konstant

$$\begin{pmatrix} x & X & x & 1 & 0 \\ X & * & * & * & * \\ x & * & * & * & * \\ 1 & * & * & * & * \\ 0 & * & * & * & * \end{pmatrix} \begin{array}{l} \xrightarrow{-X} \xrightarrow{-x} \xrightarrow{-1} \\ | \cdot x \leftarrow + \\ | \cdot x \leftarrow + \\ | \cdot x \leftarrow + \end{array}$$

$$\rightsquigarrow \begin{pmatrix} x & X & x & 1 & 0 \\ 0 & * \cdot x - X \cdot X & * \cdot x - x \cdot X & * \cdot x - 1 \cdot X & * \cdot x \\ 0 & * \cdot x - X \cdot x & * \cdot x - x \cdot x & * \cdot x - 1 \cdot x & * \cdot x \\ 0 & * \cdot x - X \cdot 1 & * \cdot x - x \cdot 1 & * \cdot x - 1 \cdot 1 & * \cdot x \\ 0 & * & * & * & * \end{pmatrix}$$

Im Kasten links findet X-Fill-in, rechts Fill-in von x und unten gar kein Fill-in statt.

3. Das Pivot ist symbolisch.

$$\begin{pmatrix} X & X & x & 1 & 0 \\ X & * & * & * & * \\ x & * & * & * & * \\ 1 & * & * & * & * \\ 0 & * & * & * & * \end{pmatrix} \begin{array}{l} \xrightarrow{-X} \xrightarrow{-x} \xrightarrow{-1} \\ | \cdot X \leftarrow + \\ | \cdot X \leftarrow + \\ | \cdot X \leftarrow + \end{array}$$

$$\rightsquigarrow \begin{pmatrix} X & X & x & 1 & 0 \\ 0 & * \cdot X - X \cdot X & * \cdot X - x \cdot X & * \cdot X - 1 \cdot X & * \cdot X \\ 0 & * \cdot X - X \cdot x & * \cdot X - x \cdot x & * \cdot X - 1 \cdot x & * \cdot X \\ 0 & * \cdot X - X \cdot 1 & * \cdot X - x \cdot 1 & * \cdot X - 1 \cdot 1 & * \cdot X \\ 0 & * & * & * & * \end{pmatrix}$$

Der obere Kasten beinhaltet die potentiellen X-Fill-in-Situationen, und im Kasten unten findet wieder kein Fill-in statt.

Matrizen, für die die vorausgesagten Fill-ins tatsächlich stattfinden, erhält man durch Wahl geeigneter Belegungen für *.

Im ursprünglichen Verfahren wurde als Pivot das Element minimalen Fill-ins ausgewählt. Es bleibt nun zu überlegen, wie sich dies auf die Erweiterung mit den verschiedenen Fill-in-Klassen übertragen lässt.

An erster Stelle steht dabei wieder unser Interesse an Matrizen mit möglichst wenigen symbolischen Einträgen (d.h. wenig X-Fill-in), um so den Suchraum klein zu halten. Die Minimierung des x-Fill-ins hat den Sinn, die Terme klein zu halten, was sich insbesondere positiv auf die Cache-Trefferquote (vgl. Abschnitt 3.5) auswirkt. Die Minimierung des Fill-ins von Elementen der Klasse 1 hat die geringste Priorität.

Es ist daher naheliegend, die Fill-ins wie in Satz 3 zu ordnen, d.h. ein Element a_{ij} ist einem Element a_{kl} vorzuziehen, wenn

$$f_{ij}^x < f_{kl}^x \vee (f_{ij}^x = f_{kl}^x \wedge (f_{ij}^x < f_{kl}^1 \vee (f_{ij}^x = f_{kl}^1 \wedge f_{ij}^1 < f_{kl}^1)))$$

gilt. Falls der Fill-in in allen Klassen übereinstimmt, soll die Komplexität des Ausdrucks (z. B. gemessen im Grad oder in der Zahl der Monome⁶

Zusätzlich ist noch die Klasse des Pivots selbst zu berücksichtigen: Nur die Nullmatrix darf ein Pivot 0 zurückgeben, und konstante Werte (d. h. 1 und x) sind symbolischen Werten X stets vorzuziehen.

Zusammenfassend ergibt sich der folgende Auswahlalgorithmus, in dem die Bezeichnungen aus Satz 3 verwendet werden:

```

1  function markowitz( $C, A$ )
2     $r := 1; c := 1;$ 
3    for  $i = 1$  to rows( $A$ ) do
4      for  $j = 1$  to cols( $A$ ) do
5        if  $A[i, j] \neq 0$  then
6          if  $A[r, c] = 0$  then
7             $r := i; c := j;$ 
8          else if  $A[r, c] = A[i, j] = X$  then
9            if  $f_{ij}^X < f_{rc}^X$  then
10              $r := i; c := j;$ 
11           else if  $f_{ij}^X < f_{rc}^X$  or ( $f_{ij}^X = f_{rc}^X$  and  $f_{ij}^x < f_{rc}^x$ ) then
12              $r := i; c := j;$ 
13           else if  $f_{ij}^X = f_{rc}^X$  and  $f_{ij}^x = f_{rc}^x$  then
14             if  $f_{ij}^1 < f_{rc}^1$  then
15                $r := i; c := j;$ 
16             else if  $f_{ij}^1 = f_{rc}^1$  and isSimpler( $A[i, j], A[r, c]$ ) then
17                $r := i; c := j;$ 
18    return ( $r, c$ );

```

Algorithmus 5 Pivot-Wahl nach dem erweiterten Markowitz-Kriterium

2.3 Spaltenvereinfachung

Wie in Beispiel 2 auf Seite 9 gesehen, reicht eine gute Strategie zur Pivot-Wahl allein im Allgemeinen nicht aus, um die Zahl der Fälle zu minimieren. Die Architektur soll daher um ein Verfahren ergänzt werden, das für eine gegebene Spalte versucht, durch Linearkombination der Zeilen einen konstanten – oder zumindest einfacheren – Eintrag zu erhalten.

Das Verfahren besteht aus drei Schritten. Zunächst wird für jedes Element der Spalte geprüft, ob es sich durch ein anderes vereinfachen läßt. Gegebenenfalls wird eine Vereinfachung durchgeführt und die zugehörige Zeilenumformung notiert. Dies wird so oft wiederholt, bis entweder eine Konstante auftritt oder sich nichts mehr vereinfachen

⁶In unserer Implementierung ist ein Polynom p einfacher als q , wenn $\partial p \cdot |p| < \partial q \cdot |q|$ gilt. Bei Gleichheit dieses Produkts entscheidet $|\cdot|$. Herrscht auch hier Gleichheit, wird ∂ verglichen.

läßt. Im zweiten Schritt wird das am weitesten vereinfachte Element der Spalte ausgewählt und die Menge der Zeilenoperationen bestimmt, die zum Erreichen dieses Elements nötig sind. Der dritte Schritt besteht aus der Ausführung dieser Umformungen auf der gesamten Matrix.

Ein Polynom p läßt sich mit Hilfe eines Polynoms q vereinfachen, falls $LT(q) \mid LT(p)$ gilt. In diesem Fall ist

$$p' := p - \frac{LM(p)}{LM(q)} \cdot q \tag{2}$$

das vereinfachte Polynom und die zugehörige Zeilenoperation ist die Addition des $LM(p)/LM(q)$ -fachen der Zeile von q zur Zeile von p . Wegen $LT(p') \prec LT(p)$ terminiert eine iterierte Anwendung dieses Vereinfachungsprinzips.

Der Algorithmus wird an einem Beispiel vorgeführt.

Bsp. 6 Gegeben sei die Matrix

$$A := \begin{pmatrix} z^4 + 1 & * & * & * \\ x^5 + y^3 + z & * & * & * \\ x^3 & * & * & * \\ y^4 - y^3 & * & * & * \\ y^2 + z & * & * & * \end{pmatrix}$$

Das Verfahren zur Spaltenvereinfachung soll auf die erste Spalte angewandt werden.

Im ersten Schritt werden die möglichen Vereinfachungen bestimmt:

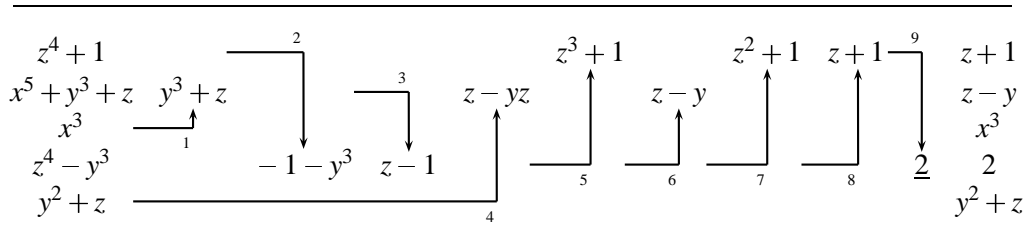


Abbildung 1 Erster Schritt der Spaltenvereinfachung: Aufbau des Vereinfachungsgraphen

Läßt sich ein Polynom auf verschiedene Arten vereinfachen, so wählt der Algorithmus eine mögliche Art aus und ignoriert alle anderen Vereinfachungen.

Als einfachstes Element wird im zweiten Schritt das Element 2 ausgewählt. Es ist nun die minimale Folge von Operationen zu bestimmen, die 2 aus der Eingabespalte erzeugen. Dazu wird ausgehend vom ausgewählten Element rekursiv jede Operation markiert, die zur dessen Kombination beigetragen hat.

Im Beispiel sind dies die Operationen 1, 2, 3, 5, 7, 8 und 9. Die nicht markierten Umformungen 4 und 6 sind überflüssig und werden gelöscht, um die Restmatrix nicht unnötig zu verkomplizieren.

Im dritten Schritt werden die ausgewählten Operationen auf der gesamten Matrix durchgeführt und (4, 1) als Pivot-Vorschlag zurückgegeben.

Experimente zeigen, daß die Vereinfachung vor allem bei Matrizen mit einer Variablen erfolgreich ist. Das liegt daran, daß für zwei Polynome $p, q \in k[x]$ stets $\text{LT}(p) \mid \text{LT}(q)$ oder $\text{LT}(q) \mid \text{LT}(p)$ gilt, so daß eine Reduktion immer möglich ist. Für multivariate Polynome gilt dies nicht mehr. Sind z. B. $p, q \in k[x, y]$ mit $\text{LT}(p) = x^2y$ und $\text{LT}(q) = xy^2$, so ist keine Vereinfachung möglich. Man könnte zwar die Definition aus Gleichung (2) in

$$p' := \frac{\text{lcm}(\text{LT}(p), \text{LT}(q))}{\text{LM}(p)} \cdot p - \frac{\text{lcm}(\text{LT}(p), \text{LT}(q))}{\text{LM}(q)} \cdot q$$

erweitern, um auch solche Fälle abzudecken (vgl. die Definition S -Polynome im Zusammenhang mit Gröbnerbasen), aber um die zugehörige Zeilenumformung durchführen zu können, müßte gewährleistet sein, daß für den aktuellen Fall F gilt

$$F \models \left(\frac{\text{lcm}(\text{LT}(p), \text{LT}(q))}{\text{LM}(p)} \neq 0 \right).$$

Da die Wahrscheinlichkeit hierfür relativ gering ist, zeigt sich, daß sich der Einsatz der lang laufenden Beweisroutinen nicht lohnt.

Eine erfreuliche Eigenschaft des Algorithmus ist, daß in den meisten Fällen relativ schnell erkannt wird, wenn keine Vereinfachung möglich ist, so daß in diesem Fall kaum Zeit verloren wird. Andererseits haben die aufwendigen Datenstrukturen zur Folge, daß im Erfolgsfall ein erheblicher Teil der Laufzeit mit Spaltenvereinfachungen verbracht wird.

2.4 Pivot-Wahl

Die Strategien der letzten Abschnitte sollen nun zur Pivot-Wahl-Routine `choosePivot` zusammengesetzt werden. Dabei sind die Laufzeiten sowie die Erfolgsaussichten zu berücksichtigen.

An dieser Stelle hat man eine Reihe von Freiheitsgraden, mit denen man Einfluß auf das Laufzeitverhalten und die Gestalt der Lösung ausüben kann. Zum Beispiel wäre denkbar, statt dem Markowitzkriterium, das den Fill-in nur abschätzt, in einer erschöpfenden Tiefensuche festzustellen, welches Pivot tatsächlich die beste Wahl ist. Es zeigt sich aber, daß bereits bei einer Vorschau der Tiefe 1 die zusätzliche Laufzeit die Laufzeiteinsparung infolge der geringeren Zahl von Fällen übertrifft.

Wir verwenden die folgende siebenstufige Entscheidungsfindung, die wir als einen geeigneten Kompromiß zwischen Laufzeitminimierung und Reduzierung der Zahl der Fälle ansehen.

Sei A die Submatrix, für die ein Pivot zu bestimmen ist, und C der aktuelle Fall.

1. Falls $(r, c) := \text{markowitz}(A)$ bezüglich C konstant ist, wird (r, c) zurückgegeben.
2. Andernfalls wird die Spalte c aus 1. nach einem echt konstanten Eintrag durchsucht. Falls ein solcher in Zeile r' existiert, wird (r', c) zurückgegeben.
3. Andernfalls wird versucht, die Spalte c mit dem Verfahren aus Abschnitt 2.3 zu

vereinfachen. Entsteht dabei ein bezüglich C konstanter Eintrag in Zeile r' , so wird die Position (r', c) ausgewählt.⁷

4. Andernfalls wird die Spalte c nach Einträgen durchsucht, die bezüglich C konstant sind. Existiert ein solcher Eintrag in Zeile r'' , so sei (r'', c) das ausgewählte Pivot.
5. Andernfalls gibt es nur symbolische Einträge in der Spalte c . Falls (r, c) aus 1. bezüglich C nicht verschwindet, wird dieser Wert als Pivot gewählt.
6. Andernfalls wird die Spalte nach irgendeinem Wert durchsucht, der in C nicht Null ist. Falls solche Einträge existieren, so wird die Position des einfachsten dieser Ausdrücke zurückgegeben.
7. Andernfalls handelt es sich um eine Nullspalte, und es kann irgendeine Position zurückgegeben werden, etwa $(1, c)$.

Wie für die Korrektheit von Algorithmus 1 erforderlich, ist das ausgewählte Element genau dann Null, wenn es sich um eine Nullspalte handelt. Darüberhinaus wird vermieden, symbolische Pivots zurückzugeben, da dies in Algorithmus 1 sofort eine Verzweigung nach sich ziehen würde. Um teure Aufrufe von `isConstant` zu vermeiden, wird im zweiten Schritt nur nach echten Konstanten gesucht. In der Implementierung wird aus dem gleichen Grund einer Suche nach einer relativen Konstanten stets eine Suche nach einer echten Konstanten vorausgeschickt.

⁷mögliche Variationen: Vereinfache probierhalber jede Spalte und wähle die, für die die Kombination des konstanten Eintrags den wenigsten Fill-in in der Restmatrix bewirkt. Oder: Vereinfache Spalte c und wenn die Matrix verändert wurde, beginne wieder bei Schritt 1.

Beide Varianten führen zu einer geringfügig kleineren Fallunterscheidung, erhöhen aber doch die durchschnittliche Laufzeit.

3 Verwaltung von Nebenbedingungen

In diesem Kapitel geht es darum, eine Gleichheitstheorie zu entwickeln, mit deren Hilfe man für einen vorgelegten Fall F und ein Polynom p entscheiden kann, ob $F \models (p = 0)$ oder $F \models (p \neq 0)$ (oder keins von beiden) gilt. Unsere Theorie wird dabei weniger logische, als viel mehr algebraische Argumente benutzen.

Dazu bemerken wir zunächst, daß die Menge aller Polynome p mit $F \models (p = 0)$ ein Ideal bilden: Aus Definition 2 auf Seite 11 folgt nämlich unmittelbar

$$\begin{aligned} \forall p, q \in k[x_1, \dots, x_r] : F \models (p = 0) \wedge F \models (q = 0) &\implies F \models (p + q = 0) \\ \text{und} \quad \forall p, q \in k[x_1, \dots, x_r] : F \models (p = 0) &\implies F \models (p \cdot q = 0) \end{aligned}$$

(vgl. Def 8 und Satz 8).

Hätte man ein Erzeugendensystem dieses Ideals, so könnte man mit dessen Hilfe entscheiden, ob p in diesem Ideal liegt und hätte so auch $F \models (p = 0)$ entschieden. Ist F von der Form $\{p = 0 : p \in P\}$ ($P \subseteq k[x_1, \dots, x_r]$), so könnte man erwarten, daß P ein Erzeugendensystem für das Ideal $\{p : F \models (p = 0)\}$ ist. Dies ist aber nicht notwendigerweise wahr:

Bsp. 7 Im Fall $F := \{x^2 = 0\}$ gilt $F \models (x = 0)$, jedoch nicht $x \in \langle x^2 \rangle$.

Es wird sich aber zeigen (vgl. Satz. 8), daß dies in gewissem Sinne die einzige Ausnahme ist. Betrachtet man nämlich das Radikalideal $\text{Rad}\langle P \rangle$ anstelle des von P erzeugten Ideals $\langle P \rangle$, so erhält man einen vollständigen und korrekten Kalkül. In obigem Beispiel ist dann $x \in \text{Rad}\langle x^2 \rangle = \langle x \rangle$, was zu $F \models (x = 0)$ nicht mehr im Widerspruch steht.

Zentrales Hilfsmittel des zu entwickelnden Kalküls werden Gröbnerbasen sein, weshalb zunächst die nötigen Konzepte und Resultate aus dieser Theorie bereitgestellt werden (vgl. auch die mathematischen Grundlagen im Anhang). In Abschnitt 3.2 wird dann darauf aufbauend der Kalkül \vdash definiert und dessen Vollständigkeit und Korrektheit gezeigt. Die beiden letzten Abschnitte enthalten Vorschläge zur Effizienzsteigerung.

3.1 Mathematische Hilfsmittel: Gröbnerbasen

Wir folgen in unserer Darstellung im wesentlichen [BWK93] und [CLO92]. Aus Platzgründen verzichten wir darauf, die aufgeführten Sätzen zu beweisen und begnügen uns bei für unsere Zwecke wesentlichen Aussagen auf Plausibilitätsklärungen. Der an streng formalen Beweisen interessierte Leser sei auf [CLO92] und [BWK93] verwiesen.

Der Begriff der Gröbnerbasis wird in den beiden genannten Werken unterschiedlich (aber natürlich äquivalent) eingeführt. Wir zitieren die hier Definition aus [BWK93]

(Def. 5.18, gering modifiziert), die von einer Reduktionsrelation \rightarrow auf $k[x_1, \dots, x_r]$ ausgeht.

Def. 5 Seien $G \subseteq k[x_1, \dots, x_r]$, $f, \tilde{f} \in k[x_1, \dots, x_r] \setminus \{0\}$.

1. Sei $g \in G$. f läßt sich mit g zu \tilde{f} reduzieren, Schreibweise $f \rightarrow_g^0 \tilde{f}$, falls ein Monom m von f mit $\text{LM}(g) \mid m$ existiert, so daß

$$\tilde{f} = f - \frac{m}{\text{LM}(g)} \cdot g.$$

\rightarrow_g sei die reflexive, transitive Hülle von \rightarrow_g^0 .

2. f läßt sich modulo G zu \tilde{f} reduzieren, Schreibweise $f \rightarrow_G^0 \tilde{f}$, falls ein $g \in G$ existiert mit $f \rightarrow_g^0 \tilde{f}$. \rightarrow_G sei die reflexive, transitive Hülle von \rightarrow_G^0 .

3. Ist \rightarrow_G lokal konfluent, d. h. für alle $f_1, f_2 \in k[x_1, \dots, x_r]$ gilt

$$(\exists f : f \rightarrow_G^0 f_1 \wedge f \rightarrow_G^0 f_2) \implies (\exists f : f_1 \rightarrow_G f \wedge f_2 \rightarrow_G f),$$

so heißt G Gröbnerbasis des Ideals $\langle G \rangle$.

Satz 4 Sei $G = \{g_1, \dots, g_n\} \subseteq k[x_1, \dots, x_r]$ eine Gröbnerbasis. Dann gilt

1. \rightarrow_G ist konfluent, noethersch und definiert eindeutige Normalformen.
2. $\forall f \in k[x_1, \dots, x_r] : f \in \langle G \rangle \iff f \rightarrow_G 0$
3. $\langle \text{LT}(g_1), \dots, \text{LT}(g_n) \rangle = \langle \text{LT}(g) : g \in \langle G \rangle \rangle$.

Bew. Proposition 5.38 in [BWK93, S. 207]. Daß \rightarrow_G noethersch ist, folgt aus der Existenz des Algorithmus (s. u.). ■

Die durch \rightarrow_G definierte Normalform eines Polynoms p ist berechenbar. Der Algorithmus subtrahiert wiederholt Polynome $q \cdot g$ (mit $g \in G$ und q geeignet) von p , um nacheinander Monome aus p zu eliminieren. Dieser Schritt wird so oft wiederholt, bis keine weitere Vereinfachung mehr möglich ist (Algorithmus 6).

Die Korrektheit dieses Algorithmus folgt unmittelbar aus Satz 4.1. Durch eine leichte Modifikation läßt sich mit Algorithmus 6 zu $f \in k[x_1, \dots, x_r]$ und einer Gröbnerbasis G auch die Linearkombination

$$f = \tilde{f} + \sum_{i=1}^n p_i \cdot g_i$$

mit $p_i \in k[x_1, \dots, x_r]$, $g_i \in G$ und der Normalform \tilde{f} von f bestimmen. Dieser Art ist der entsprechende Algorithmus in [CLO92] formuliert.

Mit $f \rightarrow_G \tilde{f}$ meinen wir im folgenden $\tilde{f} = \text{reduce}(f)$.

```

1  function reduce( $f, \{g_1, \dots, g_n\}$ )
2     $r := 0$ ;
3    while  $f \neq 0$  do
4       $i := 1$ ;
5       $break := \text{false}$ ;
6      while  $i \leq s$  and not  $break$  do
7        if  $\text{LT}(g_i) \mid \text{LT}(f)$  then
8           $f := f - \text{LM}(f) / \text{LM}(g_i) \cdot g_i$ ;
9           $break := \text{true}$ ;
10       else
11          $i := i + 1$ ;
12       if not  $break$  then
13          $r := r + \text{LM}(f)$ ;
14          $f := f - \text{LM}(f)$ ;
15     return  $r$ ;
```

Algorithmus 6 Algorithmus zur Berechnung einer Normalform von $f \in k[x_1, \dots, x_r]$ modulo einer Gröbnerbasis $G = \{g_1, \dots, g_n\}$

Satz 5 Jedes Ideal $\mathfrak{a} \subseteq k[x_1, \dots, x_r]$ hat eine Gröbnerbasis, und jedes beliebige Erzeugendensystem $\{a_1, \dots, a_n\}$ von \mathfrak{a} läßt sich (algorithmisch) zu einer Gröbnerbasis $\{a_1, \dots, a_n, g_1, \dots, g_r\}$ von \mathfrak{a} erweitern.

Bew. Die Behauptung des Satzes bezeugt der Buchberger-Algorithmus. Für den Nachweis seiner Korrektheit verweisen wir wieder [CLO92, BWK93].

```

1  function sPoly( $f, g$ )
2     $lcm := \text{lcm}(\text{LM}(f), \text{LM}(g))$ ;
3    return  $\frac{lcm}{\text{LT}(f)} \cdot f - \frac{lcm}{\text{LT}(g)} \cdot g$ ;
4  function gBasis( $\{f_1, \dots, f_n\}$ )
5     $G := \{f_1, \dots, f_n\}$ ;
6    repeat
7       $G' := G$ ;
8      for  $(p, q)$  in  $G' \times G'$  with  $p \neq q$  do
9         $s := \text{reduce}(\text{sPoly}(p, q), G)$ ;
10       if  $s \neq 0$  then
11          $G := G \cup \{s\}$ 
12     until  $G = G'$ ;
13     return  $G$ ;
```

Algorithmus 7 Berechnung einer Gröbnerbasis nach dem Algorithmus von Buchberger ■

Ist $G \subseteq k[x_1, \dots, x_r]$, und ist $(p, q) \in k[x_1, \dots, x_r] \times k[x_1, \dots, x_r]$ ein *kritisches Paar* bezüglich \rightarrow_G , dann ist das *S-Polynom* (sPoly) s von p und q gerade so definiert, daß (p, q) bezüglich $\rightarrow_{G \cup \{s\}}$ kein kritisches Paar mehr ist, aber noch $\langle G \rangle = \langle G \cup \{s\} \rangle$ gilt. So werden sukzessive alle kritischen Paare entfernt.

Mit den nun zur Verfügung stehenden Mitteln läßt sich ein Algorithmus angeben, der für beliebige Polynome $a_1, \dots, a_n, p \in k[x_1, \dots, x_r]$ entscheidet, ob $p \in \mathfrak{a} := \langle a_1, \dots, a_n \rangle$ gilt (*Membership-Problem*).

Zunächst beschafft man sich mit Algorithmus 7 eine Gröbnerbasis G von \mathfrak{a} . Dann braucht man wegen Satz 4.2 nur noch zu prüfen, ob $p \rightarrow_G 0$ gilt. Dazu kann man Algorithmus 6 verwenden:

```

1  function isMember( $p, \{a_1, \dots, a_n\}$ )
2     $p' := \text{reduce}(p, \text{gBasis}(\{a_1, \dots, a_n\}))$ ;
3    return ( $p' = 0$ );

```

Algorithmus 8 Lösung des Membership-Problems $p \in \langle a_1, \dots, a_n \rangle$

3.2 Gleichheit multivariater Polynome

Auf der Grundlage der Ergebnisse des vorherigen Abschnitts wird nun der Kalkül \vdash unserer Gleichungslogik definiert.

Als erstes werden die algebraisch unhandlichen Bedingungen der Form $p \neq 0$ auf Bedingungen der Form $q = 0$ für geeignete q reduziert.

Def. 6 Sei $p \in k[x_1, \dots, x_r]$ und $y \notin \{x_1, \dots, x_r\}$ eine neue Variable. Dann heißt das Polynom

$$\neg p := p \cdot y - 1 \in k[x_1, \dots, x_r, y]$$

das *negierte Polynom* von p .

Die neue Variable y heißt *private Variable* oder *Slick-Variable*, die x_i im Gegensatz dazu *öffentliche Variablen*.

Satz 6 Sei $p \in k[x_1, \dots, x_r]$. Dann gilt

1. $\{p = 0\}$ und $\{\neg p \neq 0\}$ beschreiben die gleichen Fälle, d. h.

$$\Sigma_{\{p=0\}} = \bigcap_{y \in k} \{ \sigma \in \Sigma : \sigma(p) \cdot y - 1 \neq 0 \}.$$

2. $\{p \neq 0\}$ und $\{\neg p = 0\}$ beschreiben die gleichen Fälle, d. h.

$$\Sigma_{\{p \neq 0\}} = \bigcup_{y \in k} \{ \sigma \in \Sigma : \sigma(p) \cdot y - 1 = 0 \}.$$

Bew.

1. „ \subseteq “ Für $\sigma \in \Sigma_{\{p=0\}}$ gilt $\sigma(p) = 0$, damit

$$\sigma(\neg p) = \sigma(p \cdot y - 1) = \sigma(p) \cdot y - 1 = -1$$

für jede Belegung von y . Damit liegt σ in der rechten Seite.

„ \supseteq “ Sei σ eine Substitution mit $\sigma(p) \cdot y - 1 \neq 0$ ($y \in k$). Wäre auch $\sigma(p) \neq 0$, dann wäre $1/\sigma(p)$ eine zulässige Belegung für y , was wegen

$$\sigma(p) \cdot y - 1 = \sigma(p) \cdot \frac{1}{\sigma(p)} - 1 = 0$$

im Widerspruch zur Wahl von σ steht.

2. „ \subseteq “ Sei $\sigma \in \Sigma_{\{p \neq 0\}}$. Dann ist $\sigma(p) \neq 0$ und durch Wahl von $y := 1/\sigma(p)$ folgt die Behauptung.

„ \supseteq “ Liegt σ in der rechten Seite, dann gibt es ein y mit $\sigma(p) \cdot y - 1 = 0$. Dann folgt unmittelbar $\sigma(p) \neq 0$ und damit die Behauptung. ■

Man sieht leicht ein, daß sich Satz 6 und damit die Reduktion von $p \neq 0$ auf $\neg p = 0$ auf Fälle mit mehreren Bedingungen übertragen läßt, solange man nur darauf achtet, daß jede private Variable y nur einmal verwendet wird.

Formal erreicht man dies induktiv, indem man einen Fall F über $k[x_1, \dots, x_r]$ zunächst in die Menge F_1 der Gleichungen und F_2 der Ungleichungen aufteilt und sukzessive Ungleichungen $p \neq 0$ aus F_2 löscht und $\neg p = 0$ in F_1 einfügt. Dabei erweitert man bei jeder solchen Verschiebung den Polynomring um eine neue private Variable.

Für den Rest dieses Abschnitts seien alle Ungleichungen in diesem Sinne beseitigt, F also eine Menge von Gleichungen $p = 0$ mit $p \in k[x_1, \dots, x_r, y_{r+1}, y_{r+2}, \dots]$. (Ist im folgenden von $k[x_1, \dots, x_r]$ die Rede, so ist implizit stets $k[x_1, \dots, x_r, y_{r+1}, y_{r+2}, \dots]$ gemeint.) Bei jeder Verwendung des Operators \neg werde eine neue Variable verwendet, die der Einfachheit halber stets mit y bezeichnet wird.

Def. 7 Es seien $P \subseteq k[x_1, \dots, x_r]$ und $F := \{p = 0 : p \in P\}$. Weiter sei $p \in k[x_1, \dots, x_r]$. Dann wird der Kalkül \vdash definiert durch

$$\begin{aligned} F \vdash (p = 0) & \iff \text{reduce}(1, \text{gBasis}(P \cup \{\neg p\})) = 0 \\ F \vdash (p \neq 0) & \iff \text{reduce}(1, \text{gBasis}(P \cup \{p\})) = 0, \end{aligned}$$

wobei reduce und gBasis durch die Algorithmen 6 und 7 definiert sind.

Satz 7 Seien $P \subseteq k[x_1, \dots, x_r]$ und $F := \{p = 0 : p \in P\}$. Weiter sei $p \in k[x_1, \dots, x_r]$. Dann gilt

1. $F \vdash (p = 0) \iff 1 \in \langle P \cup \{\neg p\} \rangle$ und
2. $F \vdash (p \neq 0) \iff 1 \in \langle P \cup \{p\} \rangle$.

Bew. Die Aussagen folgen unmittelbar aus der Korrektheit von Algorithmus 8 (Ideal-Membership-Problem). ■

Def. 8 Sei $P \subseteq k[x_1, \dots, x_r]$ und $F := \{p = 0 : p \in P\}$.

1. Die Menge

$$V_F := \{(\sigma(x_1), \dots, \sigma(x_r)) \in k^r : \sigma \in \Sigma_F\} \subseteq k^r$$

heißt von F erzeugte Varietät.

2. Die Menge

$$I_F := \{p \in k[x_1, \dots, x_r] : F \models (p = 0)\} \subseteq k[x_1, \dots, x_r]$$

heißt von F erzeugtes Ideal.

Satz 8 Sei $P \subseteq k[x_1, \dots, x_r]$ und $F := \{p = 0 : p \in P\}$. Weiter sei V_F die von F erzeugte Varietät und I_F das von F erzeugte Ideal. Dann gilt

1. V_F ist wirklich eine Varietät, nämlich $V_F = \text{Var}(P)$.
2. I_F ist wirklich ein Ideal, nämlich $I_F = \text{Rad}\langle P \rangle$.

Bew.

1. Die Gleichheit $V_F = \text{Var}(P)$ folgt unmittelbar aus der Definition von Σ_F . Mit $\text{Var}(P)$ ist dann auch V_F eine Varietät.
2. I_F ist ein Ideal: Seien $p_i \in I_F$ und $q_i \in k[x_1, \dots, x_r]$ ($i = 1, \dots, n$). Für jedes $\sigma \in \Sigma_F$ gilt dann

$$\sigma\left(\underbrace{\sum_{i=1}^n p_i \cdot q_i}_{=: p}\right) = \sum_{i=1}^n \underbrace{\sigma(p_i)}_{=0} \cdot \sigma(q_i) = 0,$$

also $F \models (p = 0)$ und damit $p \in I_F$. Also ist I_F ein Ideal.

Wegen

$$\begin{aligned} I_F &= \{p \in k[x_1, \dots, x_r] : F \models (p = 0)\} \\ &= \{p \in k[x_1, \dots, x_r] : \sigma(p) = 0 \ (\sigma \in \Sigma_F)\} \\ &= \{p \in k[x_1, \dots, x_r] : p(a) = 0 \ (a \in V_F)\} \\ &= I(V_F) \stackrel{!}{=} I(\text{Var}(P)). \end{aligned}$$

folgt aus dem Hilbertschen Nullstellensatz (Satz 13.5) die Identität $I_F = \text{Rad}\langle P \rangle$. ■

Satz 9 Der Kalkül \vdash ist vollständig und korrekt, d. h. es gilt

$$\begin{aligned} F \models (p = 0) &\iff F \vdash (p = 0), \\ F \models (p \neq 0) &\iff F \vdash (p \neq 0) \end{aligned}$$

für jede konsistente Gleichungsmenge F und jedes Polynom p .

Bew. Sei $F = \{p_i = 0 : i = 1, \dots, m\}$ für eine Menge $P = \{p_1, \dots, p_m\}$ von Polynomen. Dann zeigt

$$\begin{aligned} F \vdash (p = 0) &\stackrel{\text{Def. 7}}{\iff} \text{reduce}(1, \text{gBasis}(P \cup \{\neq p\})) = 0 \\ &\stackrel{\text{Satz 7}}{\iff} 1 \in \langle P \cup \{\neg p\} \rangle \quad \stackrel{\text{Satz 13.6}}{\iff} p \in \text{Rad}\langle P \rangle \\ &\stackrel{\text{Satz 8}}{\iff} p \in I_F \quad \stackrel{\text{Def. 8}}{\iff} F \models (p = 0), \\ F \vdash (p \neq 0) &\stackrel{\text{Def. 7}}{\iff} \text{reduce}(1, \text{gBasis}(P \cup \{p\})) = 0 \\ &\stackrel{\text{Satz 7}}{\iff} 1 \in \langle P \cup \{p\} \rangle \quad \stackrel{\text{Satz 13.4}}{\iff} \text{Var}(P \cup \{p\}) = \emptyset \\ &\stackrel{\text{Satz 13.3}}{\iff} \text{Var}(P) \cap \text{Var}(\{p\}) = \emptyset \quad \stackrel{\text{Satz 8}}{\iff} \forall x \in V_F : p(x) \neq 0 \\ &\stackrel{\text{Def. 8.1}}{\iff} \forall x \in \Sigma_F : \sigma(p) \neq 0 \quad \stackrel{\text{Def. 3}}{\iff} F \models (p \neq 0) \end{aligned}$$

die Behauptung. ■

3.3 Implementierung der Schnittstelle

Auf der Grundlage der Ergebnisse des vorangegangenen Abschnitts werden nun Algorithmen angegeben, die die Schnittstelle zum Nebenbedingungs-Modul implementieren.

Ein Fall $F = \{p = 0 : p \in C\}$ wird allein durch die Menge $C \subseteq k[x_1, \dots, x_r]$ repräsentiert.

-
- 1 **function** simplifyPolynom(C, p)
 - 2 **return** reduce($A[i, j], \text{gBasis}(C)$);
 - 3 **function** addZero(C, p)
 - 4 **return** $C \cup \{p\}$;
 - 5 **function** addConstant(C, p)
 - 6 **return** $C \cup \{\neg p\}$;
 - 7 **function** isZero(C, p)
 - 8 **return** isMember($1, C \cup \{\neg p\}$);
 - 9 **function** isConstant(C, p)
 - 10 **return** isMember($1, C \cup \{p\}$);
-

Algorithmus 9 Implementierung der Schnittstellenmethoden

3.4 Algebraische Verfeinerungen

In der ersten Version der Implementierung in MuPAD, in der die Algorithmen den hier abgedruckten Pseudo-Code-Versionen noch sehr nah waren, betrug der Anteil der Gröbnerbasenberechnung an der Gesamtlaufzeit über 98%. Durch verschiedene Optimierungen, von denen die beiden wichtigsten in diesem und dem folgenden Abschnitt beschrieben werden, konnte dieser Anteil auf einen Wert um 33% gedrückt werden (abhängig von der Gestalt der Matrix, vgl. Kapitel 4).

Intern werden die Fälle als Mengen von Polynomen repräsentiert, zu denen durch Hinzufügen jeweils eines weiteren Polynoms neue Fälle erzeugt werden können. Durch Ausnutzung dieser Eigenschaft läßt sich der Umfang der zu berechnenden Gröbnerbasen merklich reduzieren. Die Idee dabei ist, jedem Fall ein „Stück“ einer Gröbnerbasis zuzuordnen, so daß sich eine Gröbnerbasis als Vereinigung der Stücke aller Oberfälle schreiben läßt.

Mathematische Grundlage hierfür ist der folgende Satz:

Satz 10 Seien $\mathbf{a} = \langle a_1, \dots, a_n \rangle$, $\mathbf{b} = \langle a_1, \dots, a_n, b_1, \dots, b_m \rangle \trianglelefteq k[x_1, \dots, x_r]$, $\{a_1, \dots, a_n\}$ sei eine Gröbnerbasis von \mathbf{a} . Dann gibt es Polynome $c_1, \dots, c_k \in k[x_1, \dots, x_r]$, so daß $\{a_1, \dots, a_n, c_1, \dots, c_k\}$ eine Gröbnerbasis von \mathbf{b} ist.

Bew. Wir geben einen Algorithmus zur Berechnung der c_i an, dessen Korrektheit unmittelbar aus der Korrektheit des Buchbergeralgorithmus (Algorithmus 7) folgt.

```

1  function partialGBasis( $\{a_1, \dots, a_n\}, \{b_1, \dots, b_m\}$ )
2     $A := \{a_1, \dots, a_n\}$ ;
3     $C := \emptyset$ ;
4    repeat
5       $C' := C$ ;
6      for  $(p, q)$  in  $(A \cup C') \times C'$  with  $p \neq q$  do
7         $s := \text{reduce}(\text{sPoly}(p, q), A \cup C)$ ;
8        if  $s \neq 0$  then
9           $C := C \cup \{s\}$ ;
10   until  $C' = C$ ;
11   return  $C$ ;
```

Algorithmus 10 Berechnung einer partiellen Gröbnerbasis ■

Verbesserte Versionen des Buchbergeralgorithmus, wie sie in [BWK93, S. 222ff] und [GMN⁺91] beschrieben sind, und die in der Standardimplementierung von MuPAD verwendet werden, lassen sich entsprechend übertragen. Für unseren speziellen Fall läßt sich zudem ausnutzen, daß $m = 1$ in der Bezeichnungsweise des obigen Satzes ist.

Die Vorausberechnung und Verwendung der Gröbnerbasis-Stücke bringt Beschleunigungen des Gesamtalgorithmus um bis zu einem Faktor 40. Der Nachteil ist der erhöhte Speicherbedarf, der für die Speicherung der partiellen Basen nötig wird.

3.5 Technische Verfeinerungen

Besonders bei regelmäÙig aufgebauten Matrizen ist zu beobachten, daß die Methoden `isConstant` und `isZero` mehrmals mit den gleichen Argumenten aufgerufen werden. Wenn z. B. im Fall C vom Markowitz-Kriterium (S. 19) ein relativ konstantes Element p als Pivot ausgewählt wird, dann wird mindestens dreimal `isConstant(C, p)` aufgerufen (in Algorithmus 5 zur Klassifizierung, in Schritt 1 der Pivot-Wahl (S. 25) und in Zeile 7 von Algorithmus 1).

Unnötiger Aufwand wird zusätzlich bei jeder Verzweigung betrieben: in Zeile 7 von Algorithmus 1 wird das Gröbnerbasis-Stück von $C \cup \{p\}$ und in Zeile 10 das Stück von $C \cup \{\neg p\}$ berechnet. Beide Stücke werden bei Ausführung der Verzweigung erneut berechnet.

Es ist daher naheliegend, zur weiteren Beschleunigung einen *Ergebnis-Cache* einzuführen, in dem berechnete Gröbnerbasis-Stücke sowie abgeleitetes Wissen über Polynome abgelegt werden können.

Problematisch ist dabei, daß Gröbnerbasen schnell sehr groß werden, so daß es nicht möglich ist, sämtliche Ergebnisse im Speicher zu behalten. Der Cache ist daher ähnlich einem Keller organisiert, auf dem der gerade betrachtete Fall mitsamt seinen Oberfällen liegt. Wird ein neuer Fall F in den Cache eingefügt, so werden demnach solange die oben liegenden Fälle gelöscht, bis der direkte Oberfall von F oben liegt oder der Cache leer ist.

Für jeden Fall C im Cache werden fünf Listen angelegt:

1. Liste von Polynomen p mit $C \models (p = 0)$.
2. Liste von Polynomen p , für die $C \models (p = 0)$ falsch ist.
3. Liste von Polynomen p mit $C \models (p \neq 0)$.
4. Liste von Polynomen p , für die $C \models (p \neq 0)$ falsch ist.
5. Liste von Paaren (p, b) , wobei b das Gröbnerbasisstück des Falls $C \cup \{p = 0\}$ ist.

Alle Listen sind initial leer und werden von `addZero`, `addConstant` und dem Konstruktor gefüllt, sobald neue Ergebnisse vorliegen.

Um die Treffer-Rate des Cache zu erhöhen, werden die einfachen Aussagen des folgenden Satzes verwendet:

Satz 11 Seien F, G Fälle mit $G \subseteq F$ und $p, q \in k[x_1, \dots, x_r]$. Dann gilt:

1. $F \models (p \cdot q \neq 0) \iff F \models (p \neq 0) \wedge F \models (q \neq 0)$,
2. $F \models (p \cdot q = 0) \iff F \models (p = 0) \vee F \models (q = 0)$,
3. $G \models (p = 0) \implies F \models (p = 0)$, $G \models (p \neq 0) \implies F \models (p \neq 0)$,
4. $F \models (p = 0) \implies F \not\models (p \neq 0)$, $F \models (p \neq 0) \implies F \not\models (p = 0)$.

Eine optimierte Version der Methode `isZero` kann demnach wie folgt aussehen:

```

1  function isZero( $C, p$ )
2    // 1. trivial checks
3    if  $p = 0$  then
4      return true; //  $p$  is strict zero.
5    else if  $\partial p = 0$  then
6      return false; //  $p$  is strict constant.
7    // 2. cache look-up
8    if  $C \in \text{cache}$  then
9      // Let  $i$  be the index of  $C$  in the cache list.
10     if  $p \in \text{cacheList}(\text{cache}[i], 2)$  then // Is  $p$  known not to be zero?
11       return false;
12     for  $k = 1$  to  $i$  do // Is  $p$  known to be zero?
13       if  $\exists q \in \text{cacheList}(\text{cache}[k], 1) : q \mid p$  then
14         return true;
15     // Is  $p$  known to be constant?
16      $r := p$ ;
17     repeat
18        $r' := r$ ;
19     for  $k = 1$  to  $i$  do
20       if  $\exists q \in \text{cacheList}(\text{cache}[k], 3) : q \mid r$  then
21          $r := r / q$ ;
22       if  $\partial r = 0$  then //  $r$  is strict constant.
23         return false;
24     until  $r' = r$ ;
25   else
26     cacheAppend( $C$ );
27   // 3. radical membership
28    $C' := \text{addConstant}(C, p)$ ;
29   if isConsistent( $C'$ ) then //  $p$  is not zero.
30     addToCacheList( $\text{cache}[k], 2, p$ );
31     return false;
32   else //  $p$  is zero.
33     addToCacheList( $\text{cache}[k], 1, p$ );
34     return true;

```

Algorithmus 11 Optimierte Version von `isZero` aus Algorithmus 9

Die Optimierung von `isConstant` geht analog. Die Cache-Behandlung der partiellen Basen geschieht in `addZero` und `addConstant` bzw. im Konstruktor.

Bei zufälligen Matrizen wird eine Trefferquote von bis zu 75% erreicht, was zu einer merklichen Beschleunigung führt.

Für manche Anfragen, z. B. bei der Klassifizierung der Einträge im erweiterten Markowitz-Kriterium, ist die Vollständigkeit von \vdash nicht unbedingt erforderlich. An diesen Stellen werden „schnelle“ Abfragen `fastIsZero` und `fastIsConstant` anstelle von `isZero` und `isConstant` eingesetzt, die Anfragen einzig durch Nachschlagen im Cache bearbeiten. Zum Beispiel entsteht `fastIsZero` aus Algorithmus 11, indem man die Zeilen 27 bis 34 durch

```
27 return unknown;
```

ersetzt, wobei man `unknown` in den meisten Fällen als `false` interpretieren wird.

Zwar sinkt die Trefferquote durch die Verwendung der `fast`-Methoden auf etwa 30%, weil der Cache sich langsamer füllt, doch die Einsparung an Basisberechnungen zahlt sich in den meisten Fällen aus. Man hat hier also wieder die Wahl zwischen kürzerer Laufzeit und eleganteren Lösungen.

4 Experimentell gewonnene Resultate

4.1 Implementierung

Um die Leistungsfähigkeit des Verfahrens zu testen, wurde es in MuPAD implementiert. MuPAD ist ein Computeralgebra-System nach dem Vorbild von Maple, das an der Universität Paderborn entwickelt wurde. Von Systemen wie AXIOM (vgl. Abschnitt 4.3) unterscheidet es sich zum einen durch eine wesentlich einfachere Handhabung und zum anderen durch eine geringere Effizienz.

Im vorliegenden Abschnitt soll ein kurzer Überblick über die Implementierung gegeben werden. Für Details und Interna sei auf den ausführlich dokumentierten Quellcode verwiesen. Zur Syntax von MuPAD siehe [OPRW98].

Ein Fall wird in einer Datenstruktur namens *Constraint Store* repräsentiert. Die privaten Variablen werden bei Erzeugung eines Stores übergeben und haben die Form `cs_var1, cs_var2, ...`. Im übrigen entsprechen die Bezeichner der Schnittstellenfunktionen den Bezeichnungen, die in dieser Arbeit verwendet wurden.

Bsp. 8 $\{x^2 - 1 = 0, x - 1 \neq 0\} \models (x + 1 = 0)$ kann wie folgt gezeigt werden:

```
>> varList := [x, cs_var.i $ i=1..5]:
>> C := ConstraintStore(varList);
      {}
>> C := addZero(C, poly(x^2 - 1, varList)):
>> C := addConstant(C, poly(x - 1, varList));
      {x - 1 <> 0, x2 - 1 = 0}
>> isZero(C, poly(x + 1, varList));
      TRUE
```

Hinzufügen von $x + 1 \neq 0$ zu C führt folglich zu einem inkonsistenten Store:

```
>> C := addConstant(C, poly(x + 1, varList));
      {x - 1 <> 0, x + 1 <> 0, x2 - 1 = 0}
>> isConsistent(C);
      FALSE
```

Um die Lösungsmenge eines durch eine Matrix A gegebenen Systems zu bestimmen, gibt es die Funktion `elim`. Die Lösung wird als Liste von Paaren $[A, C']$ zurückgegeben, wie in Definition 4 spezifiziert.

Man kann der Funktion `elim` optional einen `ConstraintStore C` übergeben, es wird dann nur der Fall C betrachtet.

Bsp. 9 Das Beispiel 1 von Seite 8 soll automatisch gelöst werden.

```
>> A := matrix(3, 3, [[1, -2, 3], [2, t, 6], [-1, 3, t - 3]]);
```

$$\begin{array}{c} \begin{array}{|c|c|c|} \hline 1 & -2 & 3 \\ \hline 2 & t & 6 \\ \hline -1 & 3 & t-3 \\ \hline \end{array} \end{array}$$

```
>> elim(A);
```

$$\begin{array}{c} \begin{array}{|c|c|c|} \hline 1 & -2 & 3 \\ \hline 0 & 1 & t \\ \hline 0 & 0 & -4t - t^2 \\ \hline \end{array} \end{array}, \{-4t - t^2 <> 0\}$$

$$\begin{array}{c} \begin{array}{|c|c|c|} \hline 1 & -2 & 3 \\ \hline 0 & 1 & t \\ \hline 0 & 0 & 0 \\ \hline \end{array} \end{array}, \{-4t - t^2 = 0\}$$

Die Lösung ist äquivalent zu der in Beispiel 1 gefundenen. Man erhält eine Teillösung, wenn man die Bedingung $\{t + 4 \neq 0\}$ vorgibt:

```
>> C := ConstraintStore([t, cs_var.i $ i=1..10]);
```

```
>> C := addConstant(C, poly(t+4, [t, cs_var.i $ i=1..10]));
      {t + 4 <> 0}
```

```
>> elim(A, C);
```

$$\begin{array}{c} \begin{array}{|c|c|c|} \hline 1 & -2 & 3 \\ \hline 0 & 1 & 0 \\ \hline 0 & 0 & t \\ \hline \end{array} \end{array}, \{t <> 0, t + 4 <> 0\}$$

$$\begin{array}{c} \begin{array}{|c|c|c|} \hline 1 & -2 & 3 \\ \hline 0 & 1 & 0 \\ \hline 0 & 0 & 0 \\ \hline \end{array} \end{array}, \{t = 0, t + 4 <> 0\}$$

Man beachte, daß das zweite Treppennormalform von der ersten nicht subsumiert wird, da in Definition 4.2 verlangt wird, daß Strufenelemente relativ konstant sind. Dies

gewährleistet, daß man den Rang problemlos aus den Treppennormalformen ablesen kann.

Bei der Vorgabe von Fällen ist darauf zu achten, daß alle Polynome im übergebenen Constraint Store über dem gleichen Ring definiert sind (d. h. die gleiche Variablenliste haben). Aus Effizienzgründen wird nämlich darauf verzichtet, dies in den häufig aufgerufenen Methoden zu überprüfen und Polynome ggf. in einen größeren Polynomring einzubetten.

Dies gilt insbesondere für die privaten Variablen. Die Funktion `elim` erwartet, daß ein Constraint Store, der zur Lösung einer $n \times m$ -Matrix übergeben wird, so viele freie Variablen enthält, daß mindestens noch $n \cdot m + 1$ zusätzliche Bedingungen eingefügt werden können.

4.2 Experimente mit zufälligen Matrizen

Gerne hätten wir das Verhalten unseres Lösungsverfahrens auf einer großen Menge von aus Anwendungen stammenden Matrizen getestet, doch es zeigte sich, daß derartige Matrizen entweder hochgradig trivial sind oder weit außerhalb unserer Fähigkeiten liegen. Es wurden daher zwei unabhängige experimentelle Ansätze verfolgt. Zum einen – und das ist Thema dieses Abschnitts – wurden statistische Untersuchungen auf einer Menge zufällig erzeugter Matrizen durchgeführt. Im Gegensatz dazu wird dann in Abschnitt 4.4 das Verhalten des Algorithmus untersucht, wenn man ihn auf eine Matrix anwendet, wie man sie in der Computeralgebra beim Lösen gewöhnlicher Differentialgleichungen antrifft.

Nach ersten Tests zeichnete sich ab, daß die Laufzeiten auch bei ähnlich konfigurierten Matrizen stark variieren können, vor allem aufgrund unterschiedlicher Anzahl von Fällen. Es wurde daher für die weiteren Untersuchungen eine Menge C von 540 zufällig erzeugten Matrizen (Corpus) fixiert. Der Corpus C wurde so gewählt, daß etwa die Hälfte der in ihm enthaltenen Matrizen in einer angemessenen Zeit gelöst werden können.

Zum Inhalt des Corpus. Es werden Matrizen über der Menge $\{-9, -8, \dots, 8, 9\} \subseteq \mathbb{Z}$ betrachtet, die in Größe, Zahl der Nullen, Zahl der Polynome, Zahl der Variablen und Maximalzahl der Monome bzw. Maximalgrad der polynomiellen Einträge variieren. Alle Matrizen im Corpus sind vom Format $n \times n$ mit $n = 4, 5, 6$, enthalten $2, 2n$ oder $n^2/2$ polynomielle Einträge in bis zu drei Variablen, wobei die maximale Zahl der Monome und der Grad zwischen 1 und 5 variieren. Meist wurden von den nicht-symbolischen Einträgen eine Hälfte mit Konstanten und die andere Hälfte mit Nullen belegt, manche Matrizen sind voll besetzt. Die genaue Zusammensetzung des Corpus wird im Anhang (S. 59) ausführlicher beschrieben.

Alle Experimente wurden mit MuPAD 2.0 für Solaris auf einer Sparc Ultra 5 mit 192 MB durchgeführt. Bei einer Laufzeitbeschränkung von 450 s und einer Speicherbeschränkung von 20 MB (jeweils pro Matrix) können 41.9% der Matrizen gelöst werden, bei 36.2% scheitert eine Lösung am Speicherlimit und bei den restlichen 21.9% reicht die Zeit nicht.⁸

⁸Ohne Speicherbeschränkung können genau die gleichen Matrizen gelöst werden wie mit Be-

Abbildung 2 zeigt, wie häufig die Laufzeit für ein gelöstes Problem zwischen 2^{i-1} und 2^i ms liegt.⁹

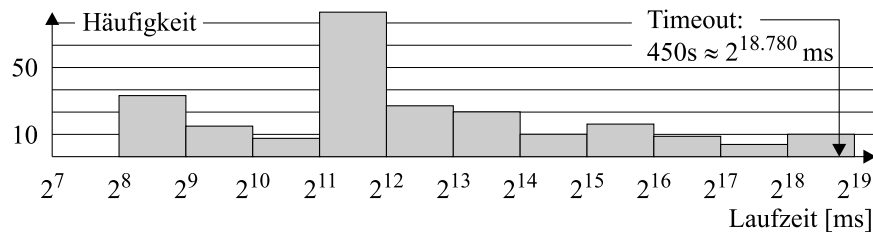


Abbildung 2 Logarithmisches „Histogramm“ der Laufzeiten

Es zeigt sich, daß die meisten Matrizen sehr schnell fertig werden, während einige wenige wesentlich länger brauchen. Dies wird auch deutlich, wenn man das arithmetische Mittel der Laufzeiten (32 s) mit dem Median (4.3 s) vergleicht.

Die Laufzeit für ein bestimmtes Problem hängt dabei weniger von der äußeren Gestalt des Systems als von der Größe der Lösung (d. h. der Zahl der gefundenen Fälle) ab. Der Grund hierfür wird in Abbildung 3 deutlich: Da die Berechnung von Gröbnerbasen EXPSPACE-vollständig ist, während der Rest des Algorithmus „nur“ polynomiell wächst, haben die Basisberechnungen einen entscheidenden Anteil an der Effizienz des gesamten Algorithmus. Die Größe der Fallunterscheidung hängt natürlich eng mit der Zahl der durchgeführten Basisberechnungen zusammen. Insbesondere werden bei Problemen, für die die Lösung in einem einzigen Fall präsentiert wird, überhaupt keine Gröbnerbasen berechnet.¹⁰

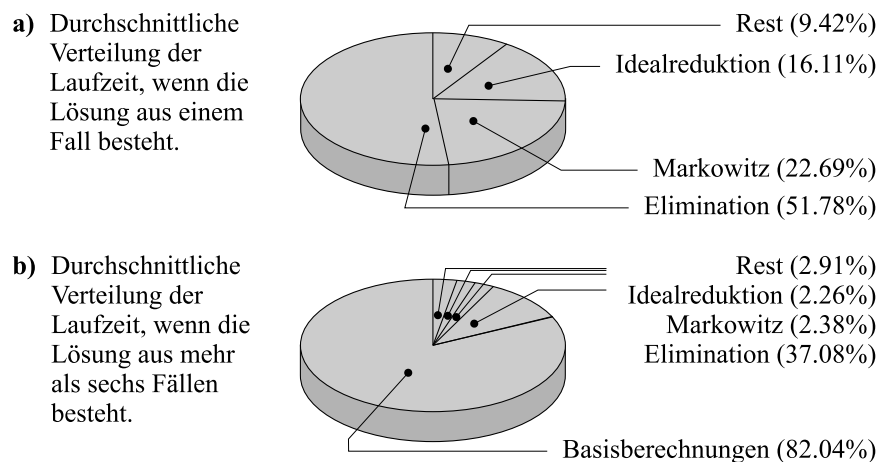


Abbildung 3 Verteilung der Laufzeit

schränkung. Jedes Problem, das zur Lösung mehr als 20 MB braucht, braucht also auch länger als 450 s.

⁹Alle Zahlen und Diagramme in diesem Abschnitt beziehen sich nur auf die Matrizen aus dem Corpus.

¹⁰Dies gilt nur, wenn – wie hier – keine Bedingungen vorgegeben werden.

Die bisherigen Beobachtungen legen also die ungewöhnliche Methode nahe, die Leistungsfähigkeit des Lösungsalgorithmus in Abhängigkeit von der Lösung statt von der Eingabe zu betrachten.

Die folgende Abbildung stellt gewissermaßen einen Zusammenhang zwischen den Abbildungen 2 und 3 dar. Sie zeigt, wie häufig welche Anzahl von Fällen als Lösung vorkommt.

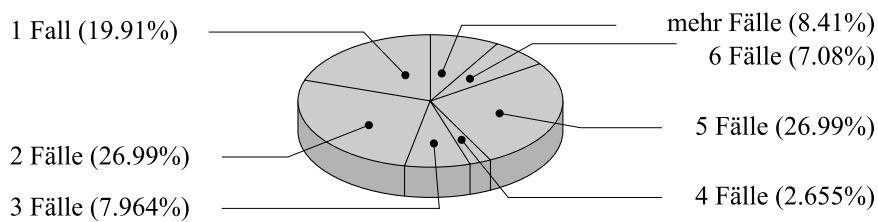


Abbildung 4 Häufigkeit bestimmter Anzahlen von Fällen

Interessanterweise gibt es recht wenige Probleme mit vier Fällen. Vermutlich ist dies auf die spezielle Zusammensetzung des Corpus zurückzuführen und nicht eine Eigenheit des Algorithmus. Problem 1 ist ein solches Exemplar.¹¹ Bei den angegebenen Ressourcenbeschränkungen ist die Zahl der Fälle einer Lösung maximal 10. Ein Beispiel für ein Problem, dessen Lösung in 10 Fällen präsentiert wird, ist Problem 50.

Weitere Kenngrößen, für die man sich interessieren könnte, sind im Anhang ab Seite 59 tabellarisch zusammengestellt. Dabei werden diese Größen sowohl in Abhängigkeit von der Gestalt der Matrix als auch in Abhängigkeit von der Zahl der Fälle dargestellt.

Um den Einfluß der einzelnen Strategien auf das Lösungsverhalten zu untersuchen, wurden die Matrizen des Corpus mit zwei Varianten des Algorithmus gelöst.

In der ersten Variante wurde bei der Pivot-Wahl auf die Verwendung des Markowitz-Kriteriums verzichtet. Die Zahl der Matrizen, die noch innerhalb der Ressourcenbeschränkung gelöst werden können, sinkt in dieser Variante gegenüber dem Standardverfahren um ca. 30%. Der symbolische Fill-in steigt auf das Doppelte, der Fill-in an Konstanten gar auf das Dreifache. Die durchschnittliche Laufzeit steigt von 6216 ms auf 17070 ms, während die Zahl der gefundenen Fälle nur geringfügig steigt.¹²

Die zweite Variante verwendet das Markowitz-Kriterium wieder, verzichtet aber auf die Verwendung der Spaltenvereinfachung. Der Vergleich zeigt, daß die Spaltenvereinfachung für zufällige Matrizen nur wenig bringt. Zusammenfassend läßt sich sagen: Es können etwa gleich viele Probleme gelöst werden, wobei die Zahl der gefundenen Fälle sowie die durchschnittliche Laufzeit ohne Spaltenvereinfachung geringfügig höher sind. Diese Beobachtung überrascht wenig, wenn man sich erinnert, daß die

¹¹Hier ist der Index des Problems im Corpus gemeint. Die Corpuselemente, auf die in der Arbeit Bezug genommen wird, sind im Anhang ab Seite 65 abgedruckt. Der vollständige Corpus ist in elektronischer Form (d. h. als MuPAD- oder AXIOM-Datei) beim Autor erhältlich.

¹²In diesem Vergleich wurden nur die Probleme betrachtet, die in beiden Varianten gelöst werden konnten.

Spaltenvereinfachung insgesamt nur selten aufgerufen wird (nur bei durchschnittlich 9.0% aller Pivotsuchen).

Die Meßwerte der beiden Variationen sind ebenfalls im Anhang zu finden.

Ein weiteres Experiment beschäftigte sich mit der Frage, welchen Vorteil es bringt, wenn man bei der Lösung von Problemen bereits Nebenbedingungen vorgibt.

Hier weiß man zunächst nicht richtig, was man eigentlich messen soll. Wenn man nämlich Fälle vorgibt, die aus zufällig erzeugten Polynomen zusammengesetzt sind, dann werden diese aller Wahrscheinlichkeit nach gar nichts mit dem Problem zu tun haben, und folglich auch keinen Einfluß auf das Lösungsverhalten haben.¹³

Da zufällig erzeugte Testfälle also ausscheiden, wurden in einem ersten Durchlauf die Fälle als Eingabe verwendet, die der Standardalgorithmus als Ausgabe liefert. Die Verwendung dieser Fälle sollte eine für den Algorithmus günstige Wahl sein, da der gleiche Weg durch den Parameterraum möglich ist, den der Algorithmus auch ohne Vorgabe gewählt hätte. Bei den meisten Problemen kann erwartungsgemäß eine erheblich kürzere Laufzeit beobachtet werden, wie Abbildung 5 zeigt. Hier wird die Laufzeit des Standardalgorithmus der Laufzeit bei Vorgabe der Fälle gegenübergestellt. Jeder Punkt (x, y) entspricht einer Matrix, die der Standardalgorithmus in Zeit x löst, und für die die Summe der Laufzeiten bei Vorgabe der Fälle y ist.

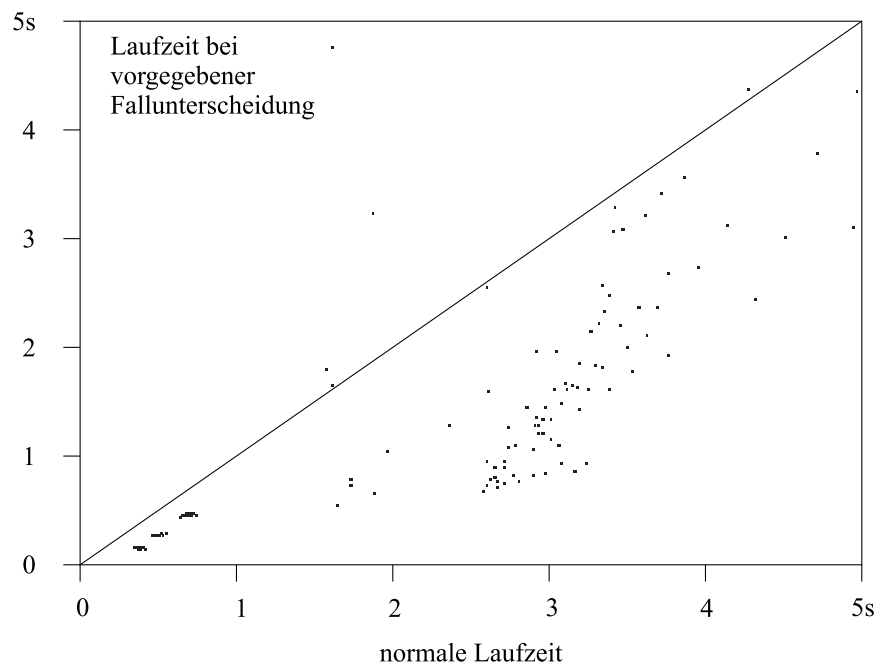


Abbildung 5 Gegenüberstellung der Laufzeiten des Gaußalgorithmus mit und ohne Vorgabe der Fallunterscheidung

¹³Genauer gesagt ist hier zu erwarten, daß sich die Laufzeit verschlechtert, da während der Lösungsfindung die gleiche Fallunterscheidung durchgeführt wird, aber durch die bereits vorhandenen Bedingungen die Gröbnerbasisberechnungen aufwendiger werden.

Die Abbildung zeigt, daß in den meisten Fällen erwartungsgemäß eine beachtliche Beschleunigung erzielt werden kann. Vergleicht man die durchschnittliche Laufzeit des Standardalgorithmus mit der Laufzeit bei Vorgabe eines einzigen Falls, so ist letztere um ca. 60% schneller.

Überraschenderweise gibt es aber auch Probleme, für die selbst die Vorgabe der eigenen Fälle ungünstig ist. So kann Problem 32 vom Standardalgorithmus in 7380 ms gelöst werden, gibt man jedoch den vierten der fünf angegebenen Fälle vor, so werden 17100 ms zu dessen Bearbeitung gebraucht, während der Aufwand bei Vorgabe eines der vier anderen Fälle mit 1090, 750, 2740 und 740 ms im erwarteten Rahmen bleibt.

Obwohl man erwarten könnte, daß bei Vorgabe eines Falls, der vom Algorithmus selbst in einer Lösung angegeben wurde, der Parameterraum hinreichend eingeschränkt ist, um die Lösung des partiellen Problems in einem einzigen Fall anzugeben, ist dies nicht immer zu beobachten. Es kann nämlich Einträge geben, die für den Standardalgorithmus zunächst symbolisch sind und erst bei einer später erfolgenden Verzweigung als konstant angenommen werden. Wenn dieser Eintrag aber sofort relativ konstant ist, kann dies eine andere Pivotwahl zur Folge haben, so daß die weiteren Bedingungen im schlimmsten Fall unbrauchbar werden. Im Corpus wird aus diesem Grund bei sieben Problemen eine zusätzliche Verzweigung nötig, so daß die Lösung in zwei Fällen angegeben wird. Als Beispiel sei Problem 61 genannt. Kurioserweise ist dies aber *nicht* die Ursache für das Phänomen, das oben am Problem 32 illustriert wurde. Tatsächlich ist nämlich bei sechs der sieben Probleme die Summe der Laufzeiten bei Vorgabe der Fälle trotz der zusätzlichen Verzweigung geringer als die entsprechende Laufzeit ohne vorgegebenen Fällen.

Da die genannten Phänomene als Einzelercheinungen aufgefasst werden sollten, läßt sich zusammenfassend feststellen, daß bei den meisten Problemen eine beachtliche Beschleunigung erzielt werden kann, wenn man die Betrachtung auf einen Teil des Parameterraums einschränkt, der beim Standardalgorithmus als Teil der Lösung erscheint. Das war aber zu erwarten.

Interessanter als diese *best case* Untersuchung ist daher das folgende Experiment. Um an brauchbare Fallunterscheidungen für die Probleme im Corpus zu gelangen, die sich noch dazu erheblich von den Fällen unterscheiden, die Algorithmus 1 liefert, wurden die Matrizen des Corpus zunächst mit dem Algorithmus von Sit gelöst. Ein ausführlicher Vergleich der beiden Algorithmen ist Inhalt des nächsten Abschnittes.

Die Fallunterscheidungen, die Sits Algorithmus liefert, unterscheiden sich enorm von jenen, die unser Algorithmus liefert (vgl. auch S. 51), hängen dabei aber natürlich dennoch mit den entsprechenden Problemen zusammen. Was passiert also, wenn man diese Fälle als Vorgaben für unseren Algorithmus verwendet?

Bei realistischen Zeit- und Speicherbeschränkung löst Sits Algorithmus 173 Corpus-elemente.¹⁴ Wenn man die Fälle dieser Lösungen als Eingabe für Algorithmus 1 verwendet, können bei einer Zeitbeschränkung von 5 min (pro Fall) noch 99 Probleme vollständig bearbeitet werden (d. h. für jeden Fall, den Sits Lösung für das entsprechende Problem angibt). Diese Probleme werden in der Standardkonfiguration mit ei-

¹⁴Genauer: Sit löst 197 Probleme in weniger als fünf Minuten, aber bei 24 Problemen dauert die Erzeugung der ConstraintStore-Objekte in MuPAD länger als fünf Minuten

ner durchschnittlichen Laufzeit von 2282 ms und durchschnittlich 2.17 Fällen gelöst. Summiert man analog zu Abbildung 5 die Laufzeiten für die verschiedenen Fälle eines Problems auf, so kommt man auf eine durchschnittliche Summe von 4890 ms. Es scheint also zunächst doch günstiger zu sein, im Allgemeinen auf die Vorgabe von Fällen zu verzichten und die interessierenden Fälle aus der Lösung des Standardalgorithmus auszuwählen.

Wenn man von den trivialen Problemen, für die die Lösung in einem Fall darstellbar ist, absieht, ist Problem 1 das einzige Corpuselement, für das die Vorgabe der Sitschen Fälle eine Beschleunigung bringt. Dies ist auch das einzige Problem, das keine zusätzlichen Verzweigungen durchführt, obwohl Sit weniger Fälle (nämlich 3) liefert als der Standardalgorithmus (nämlich 4).

Da die Stichprobe durch die nötige Zeitbeschränkungen stark dezimiert wurde, wurde das Experiment mit einer größeren Stichprobe bei niedrigerer Zeitschranke wiederholt. Aus einer Menge von ca. 13 000 Problemen, deren Struktur der des Corpus entspricht, konnten etwa 2 600 Probleme in der vorgegebenen Zeit von beiden Algorithmen bearbeitet werden. Abbildung 6 zeigt, daß die Verhältnisse doch nicht so schlecht sind wie zunächst vermutet. Ein Vergleich mit der Punktwolke aus Abbildung 5 zeigt, daß die Regionen mit der höchsten Dichte einander entsprechen. Der markanteste Unterschied läßt sich als „Verschmierung“ der rechten Wolke in Richtung der höheren Laufzeit charakterisieren.¹⁵

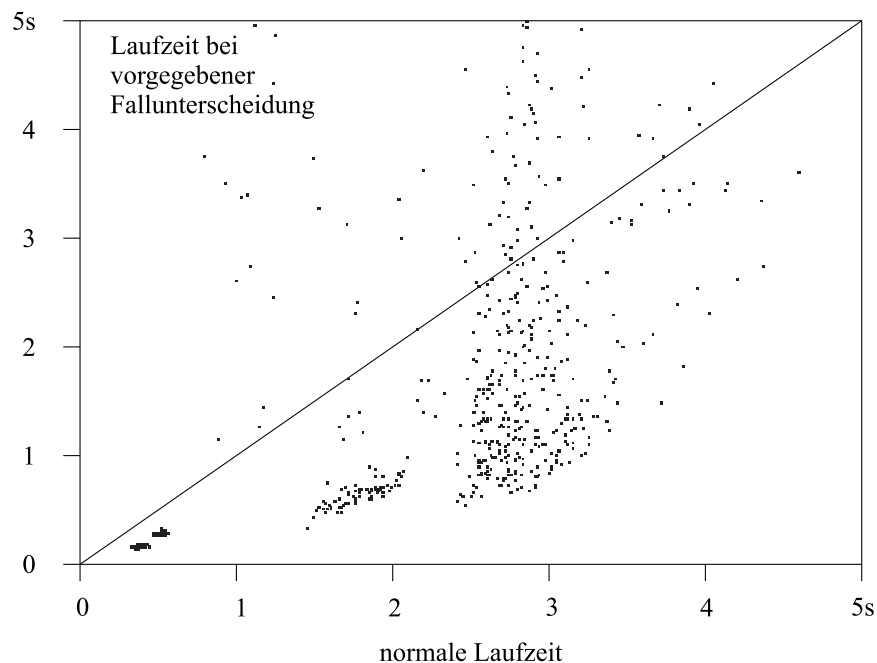


Abbildung 6 Gegenüberstellung der Laufzeiten des Gaußalgorithmus mit und ohne Vorgabe der Fallunterscheidung, die Sits Algorithmus als Ausgabe liefert

¹⁵Aus Platzgründen wurde darauf verzichtet, auch das Analogon zu Abbildung 5 für die größere Stichprobe abzudrucken, da dieses tatsächlich die gleiche Verteilung wie Abbildung 5 zeigt.

4.3 Ein Vergleich mit Sits Algorithmus

Wie bereits in der Einführung zu Beginn der Arbeit angesprochen, wurde zur Lösung parametrischer linearer Gleichungssysteme bereits in [Sit92] ein Algorithmus angegeben, der auf der Cramerschen Regel beruht. Für $C \in k(x_1, \dots, x_r)^{n \times m}$, $A \in k(x_1, \dots, x_r)^m$ wird das System

$$C \cdot x = A$$

betrachtet. Seien C , x und A von der Gestalt

$$\begin{pmatrix} C_{11} & C_{12} \\ C_{21} & C_{22} \end{pmatrix} \cdot \begin{pmatrix} x_1 \\ x_2 \end{pmatrix} = \begin{pmatrix} A_1 \\ A_2 \end{pmatrix}$$

mit $C_{11} \in k[x_1, \dots, x_r]^{c \times c}$ und $\det C_{11} \neq 0$. Dann ist

$$T = \begin{pmatrix} C_{11}^{-1} \cdot A_1 & -C_{11}^{-1} C_{12} \\ 0 & I \end{pmatrix}$$

eine Treppennormalform von C für den Fall

$$F_C := \{ \det C_{11} \neq 0, \det(C_{21} \cdot C_{11}^{-1} \cdot A_1 - A_2) = 0 \} \cup \\ \{ \det C' = 0 : C' \text{ ist } (c+1) \times (c+1)\text{-Untermatrix von } C \}.$$

In einer von $c = \min\{m, n\} + 1$ bis $c = 0$ laufenden Schleife bestimmt der Algorithmus alle Treppennormalformen dieser Gestalt, wobei C_{11} in jeder Iteration alle $c \times c$ -Untermatrizen von C durchläuft, für die der Fall F konsistent ist.

Auf Details des Algorithmus und Verfeinerungen zur Verringerung von Fällen soll hier nicht eingegangen werden. Der Interessierte Leser sei auf [Sit92] verwiesen.

Sits Algorithmus wurde im Algebrasystem AXIOM implementiert, und es liegt nun nahe, die beiden (grundverschiedenen) Lösungsansätze miteinander zu vergleichen.

Ein ernsthafter Laufzeitvergleich scheidet aus zwei Gründen aus. Zum einen handelt es sich bei AXIOM und MuPAD um grundlegend verschiedene Architekturen, die insbesondere im Laufzeitverhalten stark voneinander abweichen. Zum anderen hatte Sit nach eigenen Angaben kein Interesse an einer *effizienten* Implementierung seines Algorithmus.

Statt der Laufzeit soll daher die Anzahl der Fälle pro Lösung verglichen werden. Nachdem Sit gezeigt hat, daß im *worst case* bei Verwendung des Gauß-Algorithmus eine exponentiell höhere Anzahl von Fällen zu erwarten ist als bei seinem Algorithmus (Theorem 9.1 [Sit92, S. 389]), eignet sich ein Vergleich der Lösungsmengen zur Bewertung der Verbesserung, die der Einsatz unserer Heuristiken gegenüber einer naiven Implementierung des Gauß-Algorithmus bewirkt.

Zum Vergleich wurden die 173 Corpuselemente betrachtet, die beide Algorithmen in angemessener Zeit lösen können. Das Ergebnis ist in Abbildung 7 dargestellt: Der Tabelleneintrag (i, j) (Zeile/Spalte) steht für die Anzahl der Matrizen, deren Lösung beim Gauß-Algorithmus i Fälle und bei Sits Algorithmus j Fälle enthält. (Der Übersichtlichkeit wegen wurde \cdot anstelle von 0 geschrieben.)

		Zahl der Fälle bei Sit								
		1	2	3	4	5	6	7	8	9
Zahl der Fälle in Algorithmus 1	1	45
	2	.	49	8	1
	3	.	7	7	2
	4	.	.	2	2	.	2	.	.	.
	5	.	.	3	23	8	1	.	.	.
	6	.	.	.	1	4	1	1	.	.
	7	1	1	2	.	.
	8	1	.
	9	1

Abbildung 7 Gegenüberstellung der Zahl der Fälle bei Sit und Algorithmus 1

Wie zu erwarten war, schneidet Sits Algorithmus in diesem Vergleich etwas besser ab. Allerdings unterscheidet die Zahl der Fälle in den beiden Algorithmen für kein Problem um mehr als zwei, was als Erfolg zu werten ist.

Ein Beispiel für eine Matrix, die Sits Algorithmus besser handhaben kann, ist Problem 44. Hier gibt Sits Algorithmus eine Lösung mit drei Fällen aus, während die Lösung unseres Algorithmus fünf Fälle umfaßt. Umgekehrt ist Problem 56 eine Matrix, mit der unser Algorithmus (4 Fälle) besser zurechtkommt als der von Sit (6 Fälle). Daß derartige Probleme überhaupt existieren, wurde so nicht erwartet.

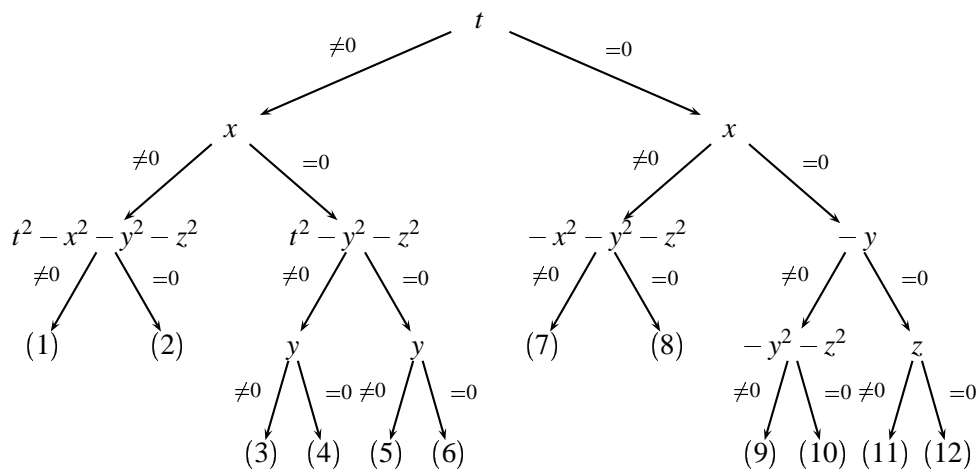
4.4 Experimente mit „Matrizen aus dem Leben“

Die Matrix $M \in \mathbb{R}[x, y, z]^{8 \times 6}$ sei definiert durch

$$M := \begin{pmatrix} t & 0 & 0 & 0 & z & -y \\ 0 & t & 0 & -z & 0 & x \\ 0 & 0 & t & y & -x & 0 \\ x & y & z & 0 & 0 & 0 \\ 0 & -z & y & t & 0 & 0 \\ z & 0 & -x & 0 & t & 0 \\ -y & x & 0 & 0 & 0 & t \\ 0 & 0 & 0 & x & y & z \end{pmatrix}$$

Für Belegungen $\sigma: \{x, y, z, t\} \rightarrow \mathbb{R}$ mit $\text{Rang } \sigma(M) = 6$ ergeben sich hieraus die charakteristischen Lösungen der Maxwell'schen Differentialgleichungen. Auf den Zusammenhang zwischen partiellen Differentialgleichungen und parametrisierten linearen Gleichungssystemen kann an dieser Stelle nicht näher eingegangen werden. Der interessierte Leser sei auf [Hör76, RR93, DL88] verwiesen. Für die Zwecke dieser Arbeit genügt zu wissen, daß man sich für die Spezialisierungen σ interessiert, für die das zu einer Differentialgleichung (bzw. zu einem Differentialgleichungssystem) gehörende lineare Gleichungssystem maximalen Rang hat.

Algorithmus 1 benötigt zur Lösung des durch M gegebenen Systems etwas weniger als 10 s und liefert eine Lösung, die die folgenden zwölf Fälle unterscheidet:

Abbildung 8 Lösungsraum des Systems M

Die Berechnung der Lösungsmenge entspricht einer Tiefensuche in diesem Baum. Betrachtet man die (hier nicht abgedruckten) Treppennormalformen, erhält man den Rang 6 in den Fällen 1, 3, 4, 7, 9 und 11, in den Fällen 2, 5, 6, 8 und 10 erhält man den Rang 4 und im Fall 12 die Nullmatrix. Eine genaue Inspektion von Abbildung 8 zeigt, daß M genau dann den Rang 6 hat, wenn

$$t^2 - x^2 - y^2 - z^2 \neq 0$$

ist. Genau dies wird von der Theorie vorhergesagt.

Man kann den Einfluß der in Kapitel 2 beschriebenen Verfeinerungen durch eine Gegenüberstellung mit einer naiven Implementierung erkennen, wie dies schon in Abschnitt 4.2 geschehen ist. Es zeigt sich dann, daß ohne die vorgestellten Strategien die Lösung des Systems etwa sechsmal so viel Zeit in Anspruch nimmt und dabei die Lösungsmenge fast doppelt so viele Fälle umfaßt, die zudem in recht redundanter Form dargestellt werden.¹⁶

Entscheidenden Einfluß an der geringeren Laufzeit und der geringeren Zahl der Fälle hat wie auch für zufällig erstellte Matrizen das erweiterte Markowitz-Kriterium. Ohne seine Verwendung steigt die Zahl der Fälle von 12 auf 19 und die Laufzeit um etwa 50%. Die Spaltenvereinfachung dagegen erzielt generell schlechtere Ergebnisse bei Matrizen mit vielen Variablen, da die Wahrscheinlichkeit für einen Match zweier Leitern mit der Zahl der Variablen sinkt (vgl. S. 23 und S. 60). Immerhin hat die Lösung bei Verwendung der Spaltenvereinfachung zwei Fälle weniger als ohne und wird dabei sogar 5% schneller gefunden.

Die Idealreduktion zur Vereinfachung der Matrixeinträge nach einer Verzweigung hat hauptsächlich Einfluß auf die Darstellung der Fälle in der Lösung, trägt aber auch zu einer Beschleunigung (um ca. 35%) und zu einer Verringerung der Zahl der Fälle (um zwei) bei.

¹⁶Man beachte, daß die einzelnen Fälle in Abbildung 8, „optimal“ dargestellt sind, obwohl Fälle etwa der Form $\{x \neq 0, x \cdot t = 0\}$ nicht selbständig zu $\{x \neq 0, t = 0\}$ vereinfacht werden können, da $x \cdot t \rightarrow t$ von der Idealvereinfachung nicht geleistet wird.

Trotz allem ist die gefundene Lösung nicht optimal. Wie bereits festgestellt, läßt Abbildung 8 bereits vermuten, daß neben einzelnen Variablen vor allem das Polynom

$$p := t^2 - x^2 - y^2 - z^2$$

offenbar eine entscheidende Rolle spielt. Alle nichttrivialen Polynome sind Spezialisierungen von p . Unter Verwendung von

$$z = 0 \iff z^2 = 0 \quad \text{und} \quad z \neq 0 \iff z^2 \neq 0$$

kann man auch die Verzweigung nach z durch eine Verzweigung nach p ersetzen. Durch Umordnung erhält man folgende Darstellung des Parameterraums, wobei das Dreieck stets für den entsprechenden Unterbaum auf der linken Seite steht.

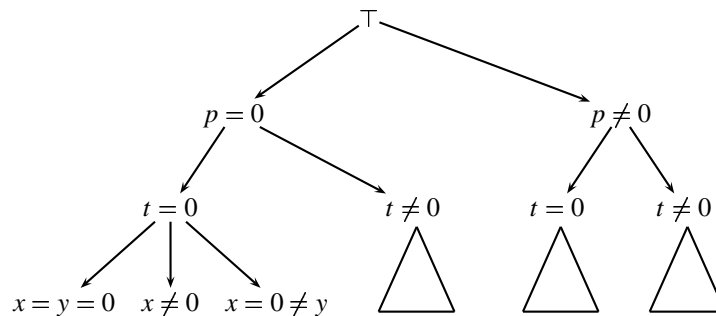


Abbildung 9 Optimierte Darstellung des Parameterraums von M

Die drei Unterfälle, die durch das linke Dreieck im rechten Unterbaum symbolisiert sind, lassen sich zu einem zusammenfassen:

Satz 12 In der Bezeichnungsweise dieses Abschnitts gilt: Im Fall $\{p \neq 0, t = 0\}$ hat M die Treppennormalform $\text{diag}(p, p, p, p, p, p)$.¹⁷

Bew. Um zugleich $p = t^2 - x^2 - y^2 - z^2 \neq 0$ und $t = 0$ zu erfüllen, muß gelten

$$x \neq 0 \vee y \neq 0 \vee z \neq 0.$$

Da M im Fall $t = 0$ durch Umordnen der Zeilen und Weglassen von Nullzeilen auf die Form

$$\begin{pmatrix} 0 & -M' \\ M' & 0 \end{pmatrix}$$

gebracht werden kann, genügt es, die Untermatrix M' zu betrachten.

¹⁷Die Aussage dieses Satzes ist natürlich trivial. Im Fall $p \neq 0$ (also sogar noch allgemeiner als $\{p \neq 0, t = 0\}$) hat M vollen Rang, also gilt $M \rightsquigarrow I$ und Multiplikation jeder Zeile mit p führt zur verlangten Gestalt. Es kommt hier darauf an zu erkennen, warum der Algorithmus das nicht „sieht“.

1. Fall: $x \neq 0$. Hier gilt:

$$\begin{aligned}
 \begin{pmatrix} x & y & z \\ 0 & -z & y \\ z & 0 & -x \\ -y & x & 0 \end{pmatrix} & \begin{array}{l} | \cdot (-x) \leftarrow + \leftarrow + \\ \leftarrow -z \\ \leftarrow y \end{array} \rightsquigarrow \begin{pmatrix} p & 0 & 0 \\ 0 & -z & y \\ z & 0 & -x \\ -y & x & 0 \end{pmatrix} \begin{array}{l} \leftarrow -z/p \leftarrow y/p \\ \leftarrow + \\ \leftarrow + \end{array} \\
 & \rightsquigarrow \begin{pmatrix} p & 0 & 0 \\ 0 & -z & y \\ 0 & 0 & -x \\ 0 & x & 0 \end{pmatrix} \begin{array}{l} \leftarrow + \leftarrow \\ | \cdot (-p/x) \\ | \cdot p/x \leftarrow z/p \leftarrow \end{array} \\
 & \rightsquigarrow \begin{pmatrix} p & 0 & 0 \\ 0 & p & 0 \\ 0 & 0 & p \end{pmatrix}.
 \end{aligned}$$

Die Fälle $y \neq 0$ und $z \neq 0$ sind zu Fall 1 symmetrisch und gehen analog. ■

Es bestehen also zwei Schwierigkeiten: Zum einen muß die erste Zeile vor der Elimination „verkompliziert“ werden, wozu die Kenntnis der herausragenden Rolle des Polynoms p erforderlich ist. Die andere Schwierigkeit besteht darin, eine Fallunterscheidung derart durchzuführen, daß die Treppennormalformen am Schluß übereinstimmen und die Fälle zusammengefaßt werden können.

Solch komplexe Überlegungen lassen sich natürlich schwerlich mit heuristischen Ansätzen steuern. Hier scheint der Algorithmus von Sit (vgl. Abschnitt 4.3) besser abzuschneiden, denn in der Tat präsentiert Sit die Lösung von M in zehn Fällen, die sich in folgendem Baum darstellen lassen:

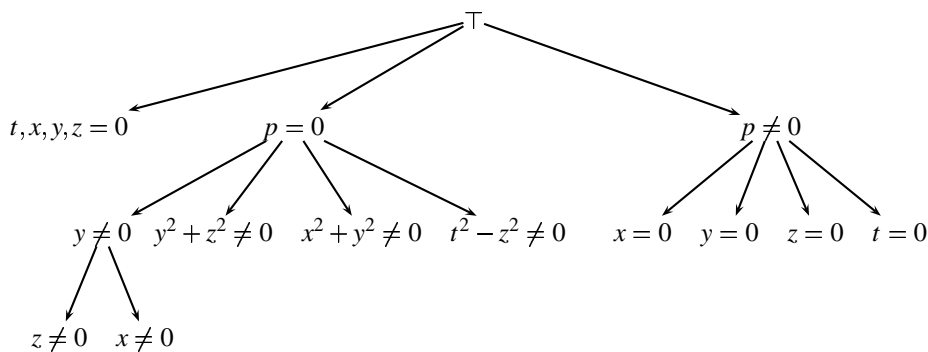


Abbildung 10 Parameterraum von M nach Sits Algorithmus

Es soll aber nicht verschwiegen werden, daß auch die von Sits Algorithmus angegebene Lösung nicht optimal ist. So wird die Bedingung $p = 0$ in drei Fällen dargestellt als

$$\begin{aligned}
 & t^3 - tx^2 - ty^2 - tz^2 = 0 \wedge t^2x - x^3 - xy^2 - xz^2 = 0 \\
 & \wedge t^2y - x^2y - y^3 - yz^2 = 0 \wedge t^2z - x^2z - y^2z - z^3 = 0,
 \end{aligned}$$

also

$$p \cdot t = 0 \wedge p \cdot x = 0 \wedge p \cdot y = 0 \wedge p \cdot z = 0,$$

was äquivalent ist zu $p = 0 \vee (t = x = y = z = 0)$. Da $t = x = y = z = 0$ bereits in Fall 1 erschöpfend behandelt wurde, geht es also gerade um den Fall $p = 0$.

5 Ergebnisse

Es wurde gezeigt, daß sich der Gauß-Algorithmus auf parametrische lineare Gleichungssysteme übertragen läßt. Durch eine geschickte Strategie zur Pivot-Wahl und mit Hilfe zusätzlicher Zwischenschritte zur Vereinfachung der Matrix läßt sich der Suchraum entscheidend einschränken, was sich in einer akzeptablen Laufzeit und in einer kurzen Darstellung der Lösung (d. h. wenige Fälle) äußert.

Zentrale Entwurfsentscheidung war die Trennung der eigentlichen Elimination von der Verwaltung des Parameterraums, so daß das Konzept der Fälle in einem unabhängigen Modul untergebracht ist und prinzipiell auch für andere Probleme mit ähnlichen Fallunterscheidungen geeignet ist.

Die Architektur wurde in MuPAD implementiert und auf zufällig erzeugten Matrizen getestet. In einem statistischen Vergleich mit dem Algorithmus von Sit, für den Laufzeit und Zahl der gefundenen Fälle asymptotisch exponentiell besser sind als beim „normalen“ Gauß-Algorithmus, zeigte sich, daß durch die Verwendung der vorgestellten Heuristiken in den meisten Fällen eine beachtliche Leistungssteigerung erzielt werden läßt.

Abhängig davon, ob man mehr Wert auf die Minimalität der Lösung oder eine kurze Laufzeit legt, wird man sich für den einen oder anderen Algorithmus entscheiden. Auch wurde beobachtet, daß eine Lösung, die mit dem Gauß-Algorithmus gefunden wird, zwar mehr Fälle umfaßt als die entsprechende Lösung von Sits Algorithmus, daß die Fälle selbst aber in den meisten Fällen erheblich kompakter und weniger redundant dargestellt werden. Zusätzlich ist die Fallunterscheidung, die der Gauß-Algorithmus liefert, nach Konstruktion disjunkt, während Sits Fälle sich überlappen können und teilweise gar ineinander enthalten sind.

Der entscheidende Vorteil des parametrischen Gauß-Algorithmus ist jedoch eine zusätzliche Funktionalität, die im Sitschen Ansatz nicht möglich ist: Wenn man sich nur für einen gewissen Teil des Parameterraums interessiert, kann man durch Vorgabe dieses Teils den Suchraum für die Lösung a priori extrem einschränken. Bei derartigen partiellen Fragestellungen ist der Gauß-Algorithmus vorzuziehen, da sonst mit einem aufwendigen Verfahren aus der kompletten Lösung die relevanten Fälle ausgewählt werden müßten, was (neben der unnötigen Berechnung der nicht interessierenden Fälle) zusätzliche Zeit in Anspruch nimmt und eine kompakte Darstellung der Fälle selbst nicht zu erwarten ist.

Zum Abschluß sollen einige Fragen aufgeworfen werden, die sich während der Erstellung der Studienarbeit gestellt haben, die aber nicht weiter verfolgt werden konnten:

- Wie läßt sich der Algorithmus übertragen auf Körper, die nicht algebraisch abgeschlossen sind? Ist es z. B. möglich, $\mathbb{R} \subseteq \mathbb{C}$ durch einen Fall zu charakterisieren, der Bedingungen wie $x^2 + 1 \neq 0$ enthält, die in \mathbb{R} tautologisch sind?

- Welche Verfahren sind denkbar, mit denen die gefundene Lösung nachträglich vereinfacht werden kann, etwa durch Zusammenfassung von Fällen? Wie kann man während der Elimination unterstützen, daß Fälle entstehen, die sich zusammenfassen lassen (vgl. Satz 12)?
- Die Vorgabe von Bedingungen kann zu einer bedeutenden Verlangsamung der Berechnung führen, wenn die vorgegebenen Bedingungen zur Lösung des Problems nicht nützlich sind und somit nur die Basisberechnungen verteuern. Kann man a priori feststellen, ob es sinnvoll ist, eine oder mehrere der vorgegebenen Bedingungen zu löschen? Könnten hierzu Methoden aus dem Automatischen Beweisen wie Tautologielöschung, Löschung purer Literale oder Subsumtionstests adaptiert werden?
- Welche Möglichkeiten gibt es, auch das Konstantenwissen zur Vereinfachung von Polynomen heranzuziehen? Ist $x = 0$, so ist $x + y = y$, aber wenn man $x \neq 0$ weiß, kann man damit weder $x + y$ noch $x \cdot y$ vereinfachen. Wir verwenden Konstantenwissen durch Ausnutzung der Äquivalenzen

$$x \cdot y = 0 \iff y = 0 \quad \text{und} \quad x \cdot y \neq 0 \iff y \neq 0,$$

wozu eine Faktorisierung nötig ist (vgl. S. 18). Läßt sich das Faktorisieren umgehen?

- Welche Probleme treten bei der Übertragung auf nicht-homogene parametrische lineare Gleichungssysteme auf, und welche der gefundenen Strategien lassen sich auf Systeme polynomieller Gleichungen übertragen?
- Lassen sich Heuristiken finden, mit denen Fallunterscheidungen gefunden werden, die „interessante“ Polynome enthalten? Dazu ist natürlich zunächst zu klären, welche Polynome interessant sind. Zum Beispiel würde man das Polynom p aus Abschnitt 4.4 als interessant bezeichnen.

Mathematische Grundlagen

Dieses Kapitel ist eine weitgehend unzusammenhängende Auflistung an Definitionen und Aussagen, die an verschiedenen Stellen der Arbeit vorausgesetzt werden. Es soll hauptsächlich darum gehen, die Sprech- und Schreibweisen festzulegen und fundamentale Resultate bereitzustellen.

Begriffe, die hier nicht aufgeführt sind, werden in ihrer allgemein üblichen oder intuitiven Bedeutung verwendet. Insbesondere ist die Notation von Aussagen (wie üblich) an die Syntax der Prädikatenlogik angelehnt. Wo es sinnvoll erscheint, wird $A(x)$ ($x \in B$) anstelle von $\forall x \in B : A(x)$ geschrieben.

Def. 9 Ein Körper k heißt *algebraisch abgeschlossen*, wenn jedes Polynom $p \in k[x]$ mit $\partial p > 0$ eine Nullstelle in k hat.

In dieser Arbeit ist k stets ein algebraisch abgeschlossener Körper.

Def. 10

1. Seien $r \in \mathbb{N}$ und x_i Variablen ($i = 1, \dots, r$). Weiter sei $e \in \mathbb{N}_0^r$. Dann heißt ein Ausdruck der Form

$$t := \prod_{i=1}^r x_i^{e_i}$$

ein *Term* in x_1, \dots, x_r , und

$$\partial t := \sum_{i=1}^r e_i$$

heißt der *Grad* des Terms t .

2. Sei t ein Term und $a \in k$. Dann heißt der Ausdruck $m := a \cdot t$ *Monom* in x_1, \dots, x_r , a heißt *Koeffizient* von m , und $\partial m := \partial t$ heißt *Grad* von m .
3. Sind m_1, \dots, m_j Monome mit paarweise verschiedenen Termen, so heißt ein Ausdruck der Form

$$p := \sum_{i=1}^j m_i$$

Polynom über x_1, \dots, x_r , und

$$\partial p := \max_{1 \leq i \leq j} \partial m_i$$

heißt *Grad* von p . Mit $|p| := k$ sei die Anzahl der Monome in p bezeichnet.

4. Es sei $k[x_1, \dots, x_r]$ die Menge aller Polynome über x_1, \dots, x_r . Multiplikation, Addition, Teilbarkeit und – wenn möglich – Division seien auf $k[x_1, \dots, x_r]$ wie üblich definiert.
5. Sind $p, q \in k[x_1, \dots, x_r]$, $p \neq 0$, dann heißt ein Ausdruck der Form $r := p/q$ *rationale Funktion*. Es sei $k(x_1, \dots, x_r)$ der Körper aller rationalen Funktionen über x_1, \dots, x_r .

Def. 11

1. Eine Menge $\mathfrak{a} \subseteq k[x_1, \dots, x_r]$ heißt *Ideal*, wenn gilt

$$\begin{aligned} \forall a \in \mathfrak{a} \forall p \in k[x_1, \dots, x_r] : a \cdot p \in \mathfrak{a}, \\ \forall a_1, a_2 \in \mathfrak{a} : a_1 + a_2 \in \mathfrak{a}. \end{aligned}$$

Schreibweise in diesem Fall: $\mathfrak{a} \trianglelefteq k[x_1, \dots, x_r]$.

2. Polynome $a_1, \dots, a_n \in k[x_1, \dots, x_r]$ heißen *Basis* oder *Erzeugendensystem* von \mathfrak{a} , wenn gilt

$$\forall a \in \mathfrak{a} \exists p_1, \dots, p_n \in k[x_1, \dots, x_r] : a = \sum_{i=1}^n p_i \cdot a_i.$$

Schreibweise: $\mathfrak{a} = \langle a_1, \dots, a_n \rangle$.

3. Zu $\mathfrak{a} \trianglelefteq k[x_1, \dots, x_r]$ heißt

$$\text{Rad } \mathfrak{a} := \{p \in k[x_1, \dots, x_r] : \exists m \in \mathbb{N} : p^m \in \mathfrak{a}\} \trianglelefteq k[x_1, \dots, x_r]$$

das *Radikal* von \mathfrak{a} .

Def. 12

1. Seien $P \subseteq k[x_1, \dots, x_r]$. Dann heißt die Menge

$$\text{Var}(P) := \{x \in k^r : p(x) = 0 \ (p \in P)\}$$

die *Varietät* von P .

2. Ist $V \subseteq k^r$ eine Varietät, so heißt

$$I(V) := \{p \in k[x_1, \dots, x_r] : p(x) = 0 \ (x \in V)\} \trianglelefteq k[x_1, \dots, x_r]$$

das von V erzeugte Ideal.

Satz 13 Es gelten:

1. (Hilberts Basissatz) Jedes Ideal \mathfrak{a} hat ein endliches Erzeugendensystem.
2. Sind $\mathfrak{a}, \mathfrak{b} \trianglelefteq k[x_1, \dots, x_r]$, dann ist auch $\mathfrak{a} \cap \mathfrak{b}$ ein Ideal, und es gilt $\text{Rad}(\mathfrak{a} \cap \mathfrak{b}) = \text{Rad } \mathfrak{a} \cap \text{Rad } \mathfrak{b}$.
3. Für $P, Q \subseteq k[x_1, \dots, x_r]$ gilt $\text{Var}(P \cup Q) = \text{Var}(P) \cap \text{Var}(Q)$.
4. (Schwacher Nullstellensatz) Sei $\mathfrak{a} \trianglelefteq k[x_1, \dots, x_r]$. Dann gilt

$$V(\mathfrak{a}) = \emptyset \iff 1 \in \mathfrak{a} \iff \mathfrak{a} = k[x_1, \dots, x_r].$$

5. (Hilberts Nullstellensatz) Für jedes Ideal $\mathfrak{a} \trianglelefteq k[x_1, \dots, x_r]$ gilt $I(V(\mathfrak{a})) = \text{Rad } \mathfrak{a}$.
6. Ist $\mathfrak{a} = \langle a_1, \dots, a_n \rangle \trianglelefteq k[x_1, \dots, x_r]$ und $p \in k[x_1, \dots, x_r]$, so gilt

$$p \in \text{Rad } \mathfrak{a} \iff 1 \in \langle a_1, \dots, a_n, 1 - yp \rangle \trianglelefteq k[x_1, \dots, x_r, y].$$

Bew.

1. Theorem 4 in [CLO92, S. 75]
2. Proposition 9 und Proposition 16 in [CLO92, S. 185, 189]
3. Lemma 2 in [CLO92, S. 11]
4. Theorem 1 in [CLO92, S. 169]
5. Theorem 6 in [CLO92, S. 175]
6. Proposition 8 in [CLO92, S. 177] ■

Def. 13 Auf der Menge T der Terme sei durch \preccurlyeq eine Ordnung mit folgenden Eigenschaften gegeben (vgl. Def. 1 in [CLO92, S. 54]):

1. \preccurlyeq ist eine Totalordnung.
2. Für alle Terme a, b, c gilt $a \preccurlyeq b \implies a + c \preccurlyeq b + c$.
3. Jede nicht-leere Teilmenge von T hat ein bezüglich \preccurlyeq minimales Element.

\preccurlyeq heißt *Termordnung*.

Ist $p \in k[x_1, \dots, x_r]$, $p = a_1 t_1 + \dots + a_n t_n$ ($a_i \in k, t_i \in T$), und ist i_0 der Index des bezüglich \preccurlyeq maximalen Terms in p , dann heißen

$$\text{LT}(p) := t_{i_0}, \quad \text{LC}(p) := a_{i_0} \quad \text{und} \quad \text{LM}(p) := a_{i_0} \cdot t_{i_0}$$

der *Leitterm*, *Leitkoeffizient* bzw. das *Leitmonom* von p (bezüglich \preccurlyeq).

Für zwei Polynome $p, q \in k[x_1, \dots, x_r]$ gelte $p \preccurlyeq q \iff \text{LT}(p) \preccurlyeq \text{LT}(q)$.

Meßwerte

Zusammensetzung des Corpus

Der Corpus enthält 540 Matrizen, die sich in Größe, Zahl der Variablen, Komplexität der Polynome und symbolischer und konstanter Dichte unterscheiden. Die folgende Tabelle zeigt, wie viele Matrizen welcher Gestalt im Corpus enthalten sind.

Ein Polynom heißt dabei von Komplexität k , wenn es bis zu k Monome enthält und einen maximalen Grad von k hat. Koeffizienten der Polynome sowie konstante Einträge wurden zufällig (gleichverteilt) aus $\{-9, -8, \dots, -1, 1, \dots, 9\}$ gezogen. Die Null tritt nicht als spezielle Konstante auf. Konstanten sind keine speziellen Polynome. Die Polynome wurden mit der MuPAD-Funktion `polylib::randpoly` erzeugt.

Größe	Variablen	Komplexität	symb. Einträge	Nullen	Anzahl
4	1	2	8	4	20
5	1	2	10	7	20
6	1	2	12	12	20
4	2	2	8	4	20
5	2	2	10	7	20
6	2	2	12	12	20
4	3	2	8	4	20
5	3	2	10	7	20
6	3	2	12	12	20
<hr/>					
4	2	2	8	4	15
5	2	2	10	7	15
6	2	2	12	12	15
4	2	3	8	4	15
5	2	3	10	7	15
6	2	3	12	12	15
4	2	4	8	4	15
5	2	4	10	7	15
6	2	4	12	12	15
4	2	5	8	4	15
5	2	5	10	7	15
6	2	5	12	12	15
<hr/>					
4	2	2	2	0	15
5	2	2	2	0	15
6	2	2	2	0	15
4	2	2	8	0	15
5	2	2	10	0	15
6	2	2	12	0	15
4	2	2	2	8	15
5	2	2	2	10	15
6	2	2	2	12	15
4	2	2	4	4	15
5	2	2	7	7	15
6	2	2	12	12	15

Lösungsverhalten der Standardkonfiguration

Die nächste Tabelle enthält interessante Kenngrößen zum Lösungsverhalten im Corpus. Die rechte Spalte enthält jeweils die Kenngröße für den gesamten Corpus, während in der Mitte der Tabelle die Matrizen mit gleicher Zahl von Variablen (links) bzw. gleicher symbolischer Komplexität (rechts) betrachtet werden. Hier ist zu beachten, daß aufgrund der Asymmetrie des Corpus nicht für jede Konfiguration die gleiche Anzahl von Problemen zur Verfügung steht, z. B. enthält der Corpus 360 Matrizen mit zwei Variablen, jedoch nur 60 Matrizen mit einer bzw. drei Variablen. (Ähnliches gilt für die Komplexität, vgl. vorherige Tabelle.)

Für die meisten Kenngrößen sind Minimum (min), Maximum (max), Durchschnitt (avg), Median (med) und Streuung/Standardabweichung (str) angegeben.

Variablen Grad	1 *	2 *	3 *	* 2	* 3	* 4	* *
Anzahl	60	156	10	214	9	3	226
Anteil	100.0	37.14	16.67	59.45	20.0	5.0	41.85
F							
min	2	1	5	1	2	2	1
max	4	10	9	10	7	6	10
avg	2.317	3.827	6.4	3.505	4.0	4.667	3.54
med	2	1	6	1	6	2	1
str	0.4997	2.373	1.114	2.206	1.886	1.886	2.196
LZ							
min	1570	310	7850	310	2930	3560	310
max	85210	395880	387380	395880	287200	78430	395880
avg	4486	37610	107100	29760	80920	37030	31890
med	3230	680	132150	680	281560	3560	680
str	10530	80820	130800	73760	112500	31080	75950
GB							
min	0.9317	0.0	11.79	0.0	2.047	5.337	0.0
max	95.42	98.88	98.57	98.88	97.68	93.28	98.88
avg	8.732	41.95	74.72	33.71	46.51	61.06	34.58
med	1.858	0.0	84.93	0.0	97.6	5.337	0.0
str	14.74	39.19	25.37	37.4	42.24	39.56	37.85
SV							
min	0.0	0.0	0.002581	0.0	0.0	0.0	0.0
max	7.027	2.454	0.2799	7.027	0.2	0.1031	7.027
avg	1.966	0.09974	0.06856	0.6251	0.032	0.04712	0.5938
med	1.858	0.0	0.01513	0.0	0.007103	0.0	0.0
str	1.509	0.2882	0.08026	1.183	0.06115	0.04255	1.159
EL							
min	3.227	0.6618	0.5427	0.5427	1.119	3.914	0.5427
max	88.39	89.94	29.48	89.94	87.37	79.78	89.94
avg	72.6	37.29	10.08	45.72	44.09	31.22	45.46
med	78.95	47.06	2.225	47.06	1.119	79.78	47.06
str	16.67	26.76	10.82	28.97	37.94	34.42	29.5
M							
min	0.5985	0.1059	0.1007	0.1007	0.3169	0.5355	0.1007
max	17.61	30.16	4.105	30.16	5.6	3.089	30.16
avg	7.719	8.741	1.527	8.479	2.453	1.758	8.15
med	8.049	23.53	0.4389	23.53	0.4049	3.089	23.53
str	2.595	9.417	1.439	8.172	1.827	1.045	8.082
IV							
min	0.2699	0.09599	0.1826	0.09599	0.3303	1.224	0.09599
max	10.69	18.75	87.16	87.16	9.146	3.371	87.16
avg	3.544	6.324	11.19	5.979	2.853	1.967	5.801
med	3.715	16.18	11.75	16.18	0.3303	3.371	16.18

	str	1.401	6.474	25.52	7.978	2.51	0.9933	7.817
R	min	0.3873	0.1702	0.1833	0.1702	0.4074	1.007	0.1702
	max	15.92	14.59	6.437	15.92	7.8	8.427	15.92
	avg	5.441	5.595	2.409	5.49	4.058	3.947	5.413
	med	5.573	13.24	0.6432	13.24	0.5363	8.427	13.24
	str	2.29	3.756	2.244	3.434	3.018	3.219	3.432
ME	min	50.0	58.33	66.67	50.0	71.43	70.59	50.0
	max	84.62	100.0	77.78	100.0	83.33	83.33	100.0
	avg	69.03	84.15	72.96	79.73	78.61	76.8	79.64
	med	75.0	100.0	77.78	100.0	72.22	83.33	100.0
	str	8.026	10.91	3.557	12.34	4.824	5.208	12.07
SVE	min	0.0	0.0	0.0	0.0	0.0	50.0	0.0
	max	100.0	100.0	50.0	100.0	100.0	100.0	100.0
	avg	91.67	54.48	7.5	62.26	61.11	66.67	62.27
	med	100.0	100.0	0.0	100.0	0.0	100.0	100.0
	str	20.75	47.73	16.0	46.08	45.81	23.57	45.85
CE	min	5.042	0.0	20.09	0.0	11.24	11.24	0.0
	max	20.64	25.44	25.45	25.45	21.88	24.66	25.45
	avg	9.266	13.51	23.45	12.6	15.97	19.25	12.82
	med	5.7	0.0	20.69	0.0	18.96	11.24	0.0
	str	3.635	9.142	1.752	8.47	4.066	5.782	8.368
f^0	min	0	0	0	0	0	0	0
	max	6	3	2	6	1	0	6
	avg	1.55	0.4487	0.8	0.7897	0.2222	0.0	0.7566
	med	2	0	1	0	0	0	0
	str	1.309	0.6915	0.6	1.031	0.4157	0.0	1.016
f^X	min	1	0	0	0	0	0	0
	max	10	8	3	10	3	0	10
	avg	4.2	1.404	1.4	2.224	1.0	0.0	2.146
	med	8	0	3	0	0	0	0
	str	2.462	1.522	1.114	2.21	1.054	0.0	2.188

In keinem Experiment konnte jemals eine Matrix vom Grad 5 gelöst werden, weshalb sich eine Spalte für diese Komplexität erübrigt.

Die Abkürzungen in der vorangegangenen Tabelle haben die folgende Bedeutung:

Anzahl	Zahl der Matrizen, die in der jeweiligen Konfiguration gelöst werden konnten
Anteil	Verhältnis der gelösten Probleme zur Anzahl der Probleme dieser Konfiguration
F	Zahl der Fälle pro Lösung
LZ	Gesamtlaufzeit
GB	Anteil der Zeit zur Berechnung von Gröbnerbasen an der Gesamtlaufzeit
SV	Anteil der Laufzeit von simplifyColumn an der Gesamtlaufzeit
EL	Anteil der Zeit zur Elimination an der Gesamtlaufzeit
M	Anteil der Laufzeit von markowitz an der Gesamtlaufzeit
IV	Anteil der Laufzeit von simplifyPolynom an der Gesamtlaufzeit
R	Anteil der restlichen Laufzeit an der Gesamtlaufzeit
ME	Anteil der Pivot-Wahlen, in denen das von Markowitz vorgeschlagene Element genommen wurde
SVE	Anteil der erfolgreichen Aufrufe von simplifyColumn
CE	Cache-Trefferquote
f^0	Fill-in von konstanten oder symbolischen Einträgen

f^X | Fill-in von symbolischen Einträgen

Zur Messung des Fill-ins einer Klasse * (im Sinne von Abschnitt 2.2, S. 19) wurde die Elimination Schritt für Schritt verfolgt. Jedesmal, wenn ein Matrixeintrag durch einen anderen ersetzt wurde (d. h. während Elimination, Idealvereinfachung oder Spaltenvereinfachung), wurde der neue Eintrag mit dem alten verglichen. Lag der neue Eintrag in Klasse * und der alte in einer einfacheren [schlimmeren] Klasse, dann wurde f^* um 1 erhöht [erniedrigt]. Die Einträge, die während der Elimination einer Spalte nach Konstruktion zu 0 werden, werden dabei nicht berücksichtigt.

Die folgende Tabelle zeigt, wie sich die Kenngrößen von oben in Abhängigkeit von der Zahl der gefundenen Fälle verhalten. (Es werden die gleichen Abkürzungen verwendet.)

Fälle Anzahl	1	2	3	4	5	6	> 6	*	
	45	61	18	6	61	16	19	226	
LZ	min	310	1630	1570	1590	2610	6820	4640	310
	max	710	3750	85210	4340	386980	395880	362390	395880
	avg	485.1	2956	8056	2595	49530	119200	100800	31890
	med	680	3230	4410	3650	47160	281560	61180	680
	str	141.7	475.4	18730	1059	83220	137700	109800	75950
GB	min	0.0	0.9317	8.955	14.51	17.24	11.79	36.42	0.0
	max	0.0	5.337	95.42	47.02	98.6	98.88	98.63	98.88
	avg	0.0	2.215	22.61	33.45	69.66	79.04	82.04	34.58
	med	0.0	1.858	19.95	19.45	90.82	97.6	86.39	0.0
	str	0.0	0.8502	18.91	12.93	23.08	22.69	17.27	37.85
SV	min	0.0	0.0	0.0	0.0	0.0	0.002581	0.00276	0.0
	max	0.0	7.027	3.829	1.622	0.616	0.4399	0.8621	7.027
	avg	0.0	1.611	1.355	0.4208	0.09051	0.08744	0.11	0.5938
	med	0.0	1.858	2.04	0.274	0.04241	0.007103	0.04904	0.0
	str	0.0	1.647	1.065	0.5828	0.1248	0.1093	0.1917	1.159
EL	min	44.45	73.26	3.227	12.58	0.5427	0.6618	0.7202	0.5427
	max	62.86	89.94	72.9	64.66	55.9	39.15	35.13	89.94
	avg	51.78	82.03	57.31	37.9	21.74	9.939	10.3	45.46
	med	47.06	78.95	56.92	64.66	5.916	1.119	5.672	47.06
	str	4.206	4.361	17.68	23.68	16.88	10.87	10.79	29.5
M	min	12.5	2.273	0.5985	4.378	0.1059	0.1007	0.2014	0.1007
	max	30.16	10.38	15.92	17.61	9.196	4.839	10.56	30.16
	avg	22.69	6.203	8.147	10.01	2.757	1.397	2.381	8.15
	med	23.53	8.049	9.977	5.48	0.9966	0.4049	2.386	23.53
	str	4.289	2.268	2.95	4.708	2.135	1.395	2.533	8.082
IV	min	12.5	1.701	0.2699	3.226	0.1021	0.09599	0.1932	0.09599
	max	18.75	4.192	8.28	11.32	6.13	87.16	9.146	87.16
	avg	16.11	2.961	4.297	7.05	2.047	7.371	2.26	5.801
	med	16.18	3.715	5.215	3.562	0.8482	0.3303	3.22	16.18
	str	1.405	0.5922	1.489	3.424	1.439	20.78	2.225	7.817
R	min	5.714	1.873	0.3873	6.452	0.1702	0.1794	0.2539	0.1702
	max	13.33	8.427	15.92	15.72	13.79	6.305	10.78	15.92
	avg	9.419	4.977	6.285	11.16	3.705	2.161	2.905	5.413
	med	13.24	5.573	5.896	6.575	1.378	0.5363	2.288	13.24
	str	2.155	1.225	2.829	3.76	2.878	2.072	2.767	3.432
min	100.0	50.0	55.55	58.33	66.66	70.58	69.56	50.0	

max	100.0	85.71	83.33	84.61	81.25	77.77	82.75	100.0
ME avg	100.0	71.39	73.67	72.18	78.42	73.44	75.05	79.64
med	100.0	75.00	75.00	81.81	81.25	72.22	82.75	100.0
str	0.0	9.439	7.551	9.202	2.887	2.892	4.755	12.07
min	100.0	100.0	50.0	0.0	0.0	0.0	0.0	0.0
max	100.0	100.0	100.0	100.0	100.0	100.0	50.0	100.0
SVE avg	100.0	100.0	77.77	16.66	21.31	31.25	9.123	62.27
med	100.0	100.0	50.0	0.0	100.00	0.0	0.0	100.0
str	0.0	0.0	24.84	37.26	39.93	29.97	16.02	45.85
min	0.0	5.042	7.74	18.92	14.74	18.92	14.71	0.0
max	0.0	16.39	20.79	23.66	25.45	24.78	24.47	25.45
CE avg	0.0	9.427	12.91	21.41	20.33	22.1	19.37	12.82
med	0.0	5.7	8.779	23.66	14.79	18.96	15.08	0.0
str	0.0	3.452	3.851	1.795	2.515	1.889	3.205	8.368

Die beiden folgenden Tabellen zeigen, welchen Einfluß die Heuristiken auf die verschiedenen Kenngrößen haben.

Zunächst die Meßwerte für den Fall, daß man auf das Markowitz-Kriterium verzichtet. In dieser Konfiguration kann keine der Matrizen vom Grad 4 oder 5 gelöst werden, so daß die entsprechenden Spalten entfallen können. Außerdem entfallen die Meßwerte für M und ME (sie sind allesamt 0). Ansonsten werden die gleichen Bezeichnungen verwendet wie bisher.

Variablen	1	2	3	*	*	*
Grad	*	*	*	2	3	*
Anzahl	60	91	3	152	2	154
Anteil	100.0	21.67	5.0	42.22	4.445	28.52
min	2	1	6	1	4	1
max	4	9	7	9	7	9
F avg	2.417	3.198	6.333	2.921	5.5	2.955
med	2	1	6	1	7	1
str	0.5857	2.459	0.4714	2.005	1.5	2.02
min	1580	240	11170	240	36500	240
max	17600	358930	293600	358930	71630	358930
LZ avg	3620	22880	109900	16580	54070	17070
med	3440	480	25020	480	71630	480
str	2299	58410	130000	51160	17570	51050
min	0.6803	0.0	59.27	0.0	82.26	0.0
max	79.49	98.94	96.92	98.94	91.34	98.94
GB avg	9.912	31.87	79.3	23.42	86.8	24.24
med	1.744	0.0	81.7	0.0	82.26	0.0
str	14.21	38.46	15.47	33.06	4.543	33.63
min	0.0	0.0	0.01362	0.0	0.0	0.0
max	32.5	0.9926	0.1791	32.5	0.01396	32.5
SV avg	5.092	0.0931	0.07755	2.067	0.00698	2.04
med	5.814	0.0	0.03997	0.0	0.01396	0.0
str	5.757	0.1846	0.07258	4.367	0.00698	4.345
min	16.76	0.6659	0.654	0.654	2.625	0.654
max	91.26	92.62	31.6	92.62	7.233	92.62
L avg	76.63	49.25	15.58	59.98	4.929	59.26

	med	84.01	64.58	14.47	64.58	2.625	64.58
	str	15.16	27.94	12.66	27.18	2.304	27.71
IV	min	1.25	0.1033	1.719	0.1033	0.548	0.1033
	max	8.193	27.08	3.133	27.08	14.07	27.08
	avg	3.719	12.29	2.358	8.777	7.31	8.758
	med	3.488	27.08	1.719	27.08	14.07	27.08
	str	1.316	9.816	0.5856	8.721	6.762	8.7
R	min	1.818	0.1798	0.1907	0.1798	0.8767	0.1798
	max	7.317	15.63	5.819	15.63	1.033	15.63
	avg	4.646	6.496	2.696	5.764	0.9549	5.701
	med	4.942	8.333	2.078	8.333	1.033	8.333
	str	1.147	3.829	2.339	3.178	0.07819	3.204
SVE	min	0.0	0.0	0.0	0.0	0.0	0.0
	max	100.0	100.0	33.33	100.0	0.0	100.0
	avg	92.08	16.81	11.11	46.63	0.0	46.02
	med	100.0	0.0	0.0	0.0	0.0	0.0
	str	20.99	32.28	15.71	46.34	0.0	46.34
CE	min	12.5	0.0	25.0	0.0	30.77	0.0
	max	38.46	34.88	28.17	38.46	34.88	38.46
	avg	21.11	14.64	26.89	17.2	32.83	17.4
	med	15.0	0.0	28.17	0.0	34.88	0.0
	str	5.735	14.61	1.364	12.22	2.057	12.27
f^0	min	0	0	1	0	0	0
	max	9	6	1	9	1	9
	avg	3.833	0.978	1.0	2.112	0.5	2.09
	med	6	0	1	0	0	0
	str	2.05	1.43	0.0	2.193	0.5	2.187
f^X	min	1	0	1	0	1	0
	max	17	15	3	17	4	17
	avg	8.016	1.879	2.0	4.296	2.5	4.273
	med	16	0	2	0	4	0
	str	3.779	2.635	0.8165	4.336	1.5	4.316

Die letzte Tabelle zeigt schließlich, wie sich der Algorithmus ohne Spaltenvereinfachung verhält.

Variablen	1	2	3	*	*	*	*
Grad	*	*	*	2	3	4	*
Anzahl	59	158	10	215	9	3	227
Anteil	98.33	37.62	16.67	59.72	20.0	5.0	42.03
F	min	2	1	5	1	2	2
	max	5	10	9	10	7	6
	avg	3.61	3.899	6.4	3.921	4.0	4.667
	med	3	1	6	1	6	2
	str	0.6383	2.385	1.114	2.111	1.886	1.886
LZ	min	1630	300	7820	300	2920	3450
	max	66090	387950	387300	387950	286750	74510
	avg	9270	34270	107400	28660	8530	35970
	med	4270	640	128810	640	280750	3450
	str	12480	71450	130800	65840	111600	29320
min	1.158	0.0	11.68	0.0	2.054	5.217	0.0
max	93.69	98.66	98.56	98.66	97.65	93.12	98.66

GB	avg	40.79	42.4	76.2	43.06	47.07	61.19	43.47
	med	20.38	0.0	84.65	0.0	97.65	5.217	0.0
	str	22.91	38.86	24.72	35.09	42.71	39.71	35.56
L	min	4.297	0.7221	0.4879	0.4879	1.111	4.039	0.4879
	max	87.26	89.8	25.19	89.8	87.67	79.71	89.8
	avg	44.21	37.21	9.136	37.64	43.76	31.06	37.8
M	med	60.42	46.88	2.244	46.88	1.111	79.71	46.88
	str	20.04	26.32	9.404	24.35	38.29	34.47	25.25
	min	0.8927	0.1725	0.09812	0.09812	0.3208	0.4832	0.09812
IV	max	17.18	29.69	3.548	29.69	5.422	4.058	29.69
	avg	6.336	8.771	1.323	8.12	2.337	2.037	7.81
	med	8.665	25.0	0.4425	25.0	0.3776	4.058	25.0
R	str	2.599	9.453	1.176	8.297	1.798	1.496	8.19
	min	0.4691	0.1331	0.1875	0.1331	0.3348	1.236	0.1331
	max	9.816	20.0	87.28	87.28	9.131	3.188	87.28
ME	avg	3.467	6.163	11.08	5.85	2.861	1.891	5.679
	med	3.747	17.19	12.04	17.19	0.3348	3.188	17.19
	str	1.308	6.333	25.61	7.904	2.535	0.9176	7.744
R	min	0.6506	0.2288	0.1678	0.1678	0.4255	1.114	0.1678
	max	15.95	16.25	5.755	16.25	8.032	7.826	16.25
	avg	5.193	5.457	2.258	5.321	3.964	3.815	5.247
CE	med	6.792	10.94	0.6288	10.94	0.5236	7.826	10.94
	str	2.21	3.762	2.048	3.433	3.023	2.893	3.425
	min	76.92	66.67	66.67	66.67	71.43	70.59	66.67
ME	max	93.33	100.0	77.78	100.0	83.33	83.33	100.0
	avg	89.35	84.42	72.96	85.59	78.61	76.8	85.2
	med	90.91	100.0	77.78	100.0	72.22	83.33	100.0
CE	str	3.414	10.45	3.557	9.589	4.824	5.208	9.548
	min	8.397	0	19.72	0	11.24	11.24	0
	max	18.56	24.55	25.75	25.75	21.93	23.72	25.75
f ⁰	avg	12.47	13.4	22.72	13.4	15.73	18.73	13.57
	med	9.091	0	19.77	0	18.04	11.24	0
	str	2.774	8.941	1.935	7.976	3.966	5.395	7.863
f ^x	min	0	0	0	0	0	0	0
	max	6	3	2	6	1	0	6
	avg	1.508	0.462	0.8	0.7814	0.2222	0.0	0.7489
f ^x	med	2	0	1	0	0	0	0
	str	1.281	0.6993	0.6	1.008	0.4157	0.0	0.9949
	min	1	0	0	0	0	0	0
f ^x	max	11	8	3	11	3	0	11
	avg	4.187	1.399	1.4	2.2	1.0	0.0	2.123
	med	8	0	3	0	0	0	0
f ^x	str	2.613	1.518	1.114	2.244	1.054	0.0	2.22

Extreme Corpuselemente

Aus Platzgründen wird darauf verzichtet, den ganzen Corpus abzudrucken. Exemplarisch werden hier nur jede Probleme aufgelistet, auf die im Text verwiesen wird.

Die Numerierung entspricht dem Index des Problems im Corpus.

$$\begin{pmatrix} 0 & 2x-8 & -14x^2 & 7x^2-5 \\ -1 & 5x+x^2 & -5 & -4 \\ 0 & -14x^2 & 0 & 0 \\ -5 & 4x^2 & 5x+4 & 3x-9 \end{pmatrix} \quad (1)$$

$$\begin{pmatrix} y^2-7 & 0 & 0 & 4 \\ 2x^2+9y^2 & 6xy+2x^2y^2 & 7x-2xy^2 & -9y+1 \\ 0 & 9x+5 & -5x-6y^2 & 0 \\ 6 & 5 & 2xy^2+7 & -7 \end{pmatrix} \quad (32)$$

$$\begin{pmatrix} -5 & 4y^2-7x^2y & -2 & -9x-9x^2 \\ 0 & -6x^2+3x^2y & 0 & 3 \\ -xy+7x^2 & -7xy-x^2y^2 & 8 & -3xy+8x^2 \\ 3x^2-xy^2 & 8x^2y^2 & 0 & 0 \end{pmatrix} \quad (44)$$

$$\begin{pmatrix} 0 & 15y & -7y & -7x+xy \\ 5y^2+7x^2y & 2 & 0 & -4x^2y^2 \\ 0 & -7 & 2x-7x^2 & -1 \\ 2x^2y^2+6 & 2 & 0 & -3y+7y^2 \end{pmatrix} \quad (50)$$

$$\begin{pmatrix} y^2+8xy^2 & -4x^2+y^2 & -5x+6x^2y^2 & 5x+5y^2 \\ -6 & 0 & 0 & -8x-7x^2 \\ -4 & -1 & -8xy^2 & 3y-4x^2y^2 \\ 6y^2+7x^2y^2 & -9 & 0 & 0 \end{pmatrix} \quad (56)$$

$$\begin{pmatrix} 9y+6xy & 8 & 9y^2 & 5 \\ y^2-x^2y & 5y-x^2 & 0 & -2 \\ -3x-3x^2y^2 & 0 & 3xy-x^2y & -9y-8y^2 \\ 0 & 7x-3xy^2 & 0 & -9 \end{pmatrix} \quad (61)$$

Literatur

- [BWK93] T. Becker, V. Weispfenning, and H. Kredel. *Gröbner Bases*. Springer, 1993.
- [CLO92] D. Cox, J. Little, and D. O’Shea. *Ideals, Varieties, and Algorithms*. Springer, 1992.
- [DER86] I. S. Duff, A. M. Erisman, and J. K. Reid. *Direct Methods for Sparse Matrices*. Clarendon Press, 1986.
- [DL88] R. Dautray and J.-L. Lions. *Mathematical Analysis and Numerical Methods for Science and Technology*. Springer, 1988.
- [DST88] J. H. Davenport, Y. Siret, and E. Tournier. *Computer Algebra*. Academic Press, 1988.
- [Gau01] C. F. Gauß. *Disquisitiones arithmeticae*. Universität Göttingen, 1801.
- [GCL92] K. O. Geddes, S. R. Czapor, and G. Labahn. *Algorithms for Computer Algebra*. Kluwer Academic Press, 1992.
- [GMN⁺91] A. Giovini, T. Mora, G. Niesi, L. Robbiano, and C. Traverso. “One sugar cube, please,” or Selection strategies in the Buchberger algorithm. *Proc. International Symposium on Symbolic and Algebraic Computation (IS-SAC ’91)*, page 49, 1991.
- [Hör76] L. Hörmander. *Linear partial differential operators*. Springer, 1976.
- [Jen96] K. Jensen. *Coloured Petri Nets*. Springer, 1996.
- [Kap95] D. Kapur. An approach for solving systems of parametric equations. *Principles and practice of constraint programming: The Newport papers*, pages 217–243, 1995.
- [OPRW98] W. Oevel, F. Postel, J. Rüscher, and S. Wehmeier. *Das MuPAD-Tutorium*. SciFace Software, 1998.
- [RR93] M. Renardy and R. Rogers. *An Introduction to Partial Differential Equations*. Springer, 1993.
- [Sit92] W. J. Sit. An algorithm for solving parametric linear systems. *Journal of Symbolic Computation*, pages 353–394, 1992.
- [vzGG99] J. von zur Gathen and J. Gerhard. *Modern Computer Algebra*. Cambridge University Press, 1999.
- [WR98] G. Rozenberg W. Reisig. *Lectures on Petri Nets I: Basic Methods*. Springer, 1998.

Funktionen und Prozeduren

Die folgende Liste enthält die Deklarationen aller verwendeten Funktionen und Prozeduren.

$\text{elimination}(A, C, \text{row}, \text{col})$	Bestimmt für den Fall C die Lösungsmenge des Systems $A = ((a_{ij}))_{i=\text{row}, j=\text{col}}^n$ ↑ S. 15
$\text{swapRow}(A, i, j)$	Gibt die Matrix A' zurück, die aus A durch Vertauschen der i -ten und j -ten Zeile entsteht ↑ S. 15
$\text{swapColumn}(A, i, j)$	Gibt die Matrix A' zurück, die aus A durch Vertauschen der i -ten und j -ten Spalte entsteht ↑ S. 15
$\text{rows}(A)$	Anzahl der Zeilen von A ↑ S. 15
$\text{cols}(A)$	Anzahl der Spalten von A ↑ S. 15
$\text{gcd}(C, p_1, \dots, p_n)$	Bestimmt den größten gemeinsamen Teiler der Polynome p_1, \dots, p_n , der bezüglich C konstant ist ↑ S. 18
$\text{gcd}(p_1, \dots, p_n)$	Bestimmt den größten gemeinsamen Teiler der Polynome p_1, \dots, p_n ↑ S. 18
$\text{factor}(p)$	Faktorisiert das Polynom p ↑ S. 18
$\text{eliminationStep}(C, A, i, j)$	Eliminiert alle Elemente $A[k, j]$ mit $k > j$ ↑ S. 19
$\text{markowitz}(C, A)$	Wählt ein günstiges Element in A aus, das als Pivot verwendet werden kann ↑ S. 23
$\text{reduce}(f, \{g_1, \dots, g_n\})$	Bestimmt die Normalform von f bezüglich der Gröbnerbasis $G := \{g_1, \dots, g_n\}$. ↑ S. 29
$\text{sPoly}(f, g)$	Bestimmt das S -Polynom von f und g ↑ S. 29
$\text{gBasis}(\{f_1, \dots, f_n\})$	Bestimmt eine Gröbnerbasis von $\{f_1, \dots, f_n\}$ ↑ S. 29
$\text{isMember}(p, \{a_1, \dots, a_n\})$	Prüft, ob $p \in \langle a_1, \dots, a_n \rangle$ gilt (Membership-Problem) ↑ S. 30
$\text{simplifyPolynom}(C, p)$	Vereinfacht das Polynom p bezüglich C ↑ S. 33
$\text{addZero}(C, p)$	Erzeugt den Fall $C \cup \{p = 0\}$ ↑ S. 33
$\text{addConstant}(C, p)$	Erzeugt den Fall $C \cup \{p \neq 0\}$ ↑ S. 33
$\text{isZero}(C, p)$	Prüft, ob $C \models (p = 0)$ gilt ↑ S. 33
$\text{isConstant}(C, p)$	Prüft, ob $C \models (p \neq 0)$ gilt ↑ S. 33

Symbolverzeichnis

$\mathbb{N}, \mathbb{Z}, \mathbb{Q}, \mathbb{R}, \mathbb{C}$	Menge der nat'urlichen, ganzen, rationalen, reellen bzw. komplexen Zahlen
\mathbb{N}_0	Menge der nat'urlichen Zahlen incl. 0
$ A $	M'achtigkeit der Menge A
$A \cup B$	Disjunkte Vereinigung der Mengen A und B
k	Ein beliebiger, aber fester algebraisch abgeschlossener K'orper
$k[x_1, \dots, x_r]$	Ring der Polynome 'uber k in den Variablen x_1, \dots, x_r
$k(x_1, \dots, x_r)$	K'orper der rationalen Funktionen 'uber k in den Variablen x_1, \dots, x_r
$R^{n \times m}$	Ring der Matrizen der Gr'o'Be $n \times m$ 'uber R
$A[i, j], a_{ij}$	Matrix-Element der Matrix A bzw. $((a_{ij}))$ an der Stelle (i, j)
Rang A	Rang der Matrix A
$\det A$	Determinante der Matrix A
$\text{diag}(d_1, \dots, d_n)$	Diagonalmatrix mit den Elementen d_1, \dots, d_n
Σ	Menge der Spezialisierungen $\{x_1, \dots, x_r\} \rightarrow k$
$ p $	Anzahl der Monome im Polynom p
∂p	Grad des Polynoms p
$\mathfrak{a} \trianglelefteq R$	\mathfrak{a} ist ein Ideal in R
$\langle f_1, \dots, f_n \rangle$	Von f_1, \dots, f_n erzeugtes Ideal
Rad \mathfrak{a}	Radikal des Ideals \mathfrak{a}
$\text{Var}(P)$	Von $P \subseteq k[x_1, \dots, x_r]$ erzeugte Variet'at
$I(V)$	Von der Variet'at V erzeugtes Ideal
\rightarrow_g^0	Reduktion modulo $g \in k[x_1, \dots, x_r]$
\rightarrow_G^0	Reduktion modulo $G \subseteq k[x_1, \dots, x_r]$
\rightarrow_g	Reflexive, transitive H'ulle von \rightarrow_g^0
\rightarrow_G	Reflexive, transitive H'ulle von \rightarrow_G^0
$p \preceq q$	Term- und Polynomordnung
LT(p)	Leitterm des Polynoms p
LC(p)	Leitkoeffizient des Polynoms p
LM(p)	Leitmonom des Polynoms p
$p = 0, p \neq 0$	Nebenbedingungen
Σ_F	Menge der Spezialisierungen eines Falls F
$\neg p$	Negiertes Polynom
V_F, I_F	Vom Fall F erzeugte Variet'at / erzeugtes Ideal
$F \models b$	Im Fall F gilt die Bedingung b
$F \vdash b$	Aus der Definition von F ist b ableitbar

Index

A

absolute Konstante 11
absolute Null 11
addConstant (*Algorithmus*) 13, 33
addZero (*Algorithmus*) 13, 33
Algorithmus
 Kenngrößen 60–65
Ausdruck 10
average case 7
AXIOM 47

B

Bareiss \uparrow *Elimination nach Gauß-Bareiss*
Basis \uparrow *Ideal, Basis*
Bedingung 11, 26–37
Belegung 10
best case 45
Buchberger 29

C

Cache \uparrow *Ergebnis-Cache*
choosePivot (*Algorithmus*) \uparrow *Pivot-Wahl*
cols (*Algorithmus*) 15
columnSimplify (*Algo.*) \uparrow *Spaltenvereinfachung*
Constraint Store 39
ConstraintStore (*Benutzerschnittstelle*) 39
Corpus 41–48
 Elemente 65–66
 Zusammensetzung 59–60
cs_var (*Benutzerschnittstelle*) 39

E

echt konstant 11
echte Null 11
elim (*Benutzerschnittstelle*) 39
Elimination 13–26
 divisionsfreie 16
 in Ringen 15–19
 nach Gauß-Bareiss 16
elimination (*Algorithmus*) 15
eliminationStep (*Algorithmus*) 19

erfüllbar \uparrow *konsistent*

Ergebnis-Cache 35
Erzeugendensystem 56
Experimente 37–52

F

factor (*Algorithmus*) 18
Fall 11
 erzeugte Varietät 32
 erzeugtes Ideal 32
 Gleichungslogik \uparrow *Gleichungslogik*
 inkonsistenter 11
 Kalkül \uparrow *Gleichungslogik*
 konsistenter 11
 konstant bezüglich 11
 Null bezüglich 11
 widersprüchlicher 11
Fill-in 19
 Klassen 20
 schlimmer 21
Funktion
 rationale 56

G

Gauß-Bareiss
 Elimination \uparrow *Elimination nach Gauß-Bareiss*
Gauß-Elimination \uparrow *Elimination*
gBasis (*Algorithmus*) 29
gccd (*Algorithmus*) 18
gcd (*Algorithmus*) 18
Gleichungslogik 26–37
Gleichungssystem
 lineares \uparrow *lineares Gleichungssystem*
Grad 55
greatest common constant divisor \uparrow *gccd*
Gröbnerbasis 28
 Stücke 34
Größter konstanter gemeinsamer Teiler \uparrow *gccd*

H

Hilbert 57

- I**
- Ideal 56
 - Basis 56
 - Erzeugendensystem 56
 - erzeugtes 32
 - isMember (*Algorithmus*) ↑ *isMember*
 - Membership-Problem 30
 - Radikal 56
 - Implementierung 39–41
 - Inkonsistenz 11
 - Inkrementelle Gröbnerbasen
 - ↑ *Gröbnerbasis, Stücke*
 - isConsistent (*Benutzerschnittstelle*) 39
 - isConstant (*Algorithmus*) 13, 33
 - isMember (*Algorithmus*) 30
 - isZero (*Algorithmus*) 13, 33, 36
- K**
- Kalkül ↑ *Gleichungslogik*
 - Kenngrößen 60–65
 - Koeffizient 55
 - Leit- 57
 - Konfluenz, lokale 28
 - Konsistenz 11
 - konstant 11
 - absolut 11
 - echt 11
 - relativ 11
 - Körper 55
 - kritisches Paar 30
- L**
- Leitkoeffizient 57
 - Leitmonom 57
 - Leitterm 57
 - lineares Gleichungssystem 7
 - Lösung 8, 12
 - Lösungsmenge 12
 - Lösungsverfahren 13–26
 - parametrisiertes 7
 - Spezialfall ↑ *Spezialfall*
 - Lösung 8, 12
 - Spezialfall ↑ *Spezialfall*
 - Lösungsmenge 12
- M**
- Maple 39
 - Markowitz 19–23, 43
 - markowitz (*Algorithmus*) 23
 - Matrix ↑ *lineares Gleichungssystem*
 - aus dem Leben 7, 48–52
 - Maxwell 48–52
 - Membership-Problem 30
 - Monom 55
 - Leit- 57
 - MuPAD ↑ *Implementierung*
- N**
- Nebenbedingung 11, 26–37
 - negiertes Polynom 30
 - Normalform 28
 - Null 11
 - absolute 11
 - echte 11
 - relative 11
 - Nullstellensatz 57
- O**
- öffentliche Variablen 30
- P**
- Parameter 10
 - Petrinetz 7
 - Pivot-Wahl 25–26
 - Polynom 55
 - Leitkoeffizient 57
 - Leitmonom 57
 - Leitterm 57
 - negiertes 30
 - vereinfachen 24
 - private Variable 30
 - Problem 10
- R**
- Radikal 56
 - Randbedingung 11, 26–37
 - rationale Funktion 56
 - reduce (*Algorithmus*) 29
 - Reduktion 28
 - relative Konstante 11
 - relative Null 11
 - rows (*Algorithmus*) 15
- S**
- SCRATCHPAD ↑ *AXIOM*
 - simplifyColumn (*Algo.*) ↑ *Spaltenvereinfachung*

- simplifyPolynom (*Algorithmus*) 13, 33
 Sit 7, 47–48
 Slick-Variable 30
 Spaltenvereinfachung 23–25, 43–44
 Spezialfall 8
 scheinbarer 9
 siehe auch: ↑ *Fall*
 Spezialisierung 10
 sPoly (*Algorithmus*) 29
 strict constant ↑ *echt konstant*
 strict zero ↑ *Null, echte*
 Stufenelement 12
 Substitution 10
 swapColumn (*Algorithmus*) 15
 swapRow (*Algorithmus*) 15
 symbolisch 11
 System ↑ *lineares Gleichungssystem*
- T**
- Term 55
 Grad 55
- Leit- 57
 Termordnung 57
 Treppennormalform 8, 12
 Stufenelement 12
- U**
- unerfüllbar ↑ *inkonsistent*
- V**
- Variable 55
 öffentliche 30
 private 30
 Slick- 30
 Variablenbelegung 10
 Varietät 56
 erzeugte 32
 erzeugtes Ideal 56
 Vereinfachung 9
- W**
- Widersprüchlichkeit 11
 worst case 7